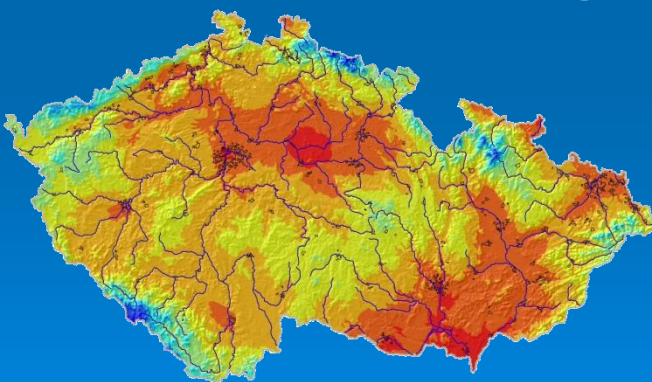
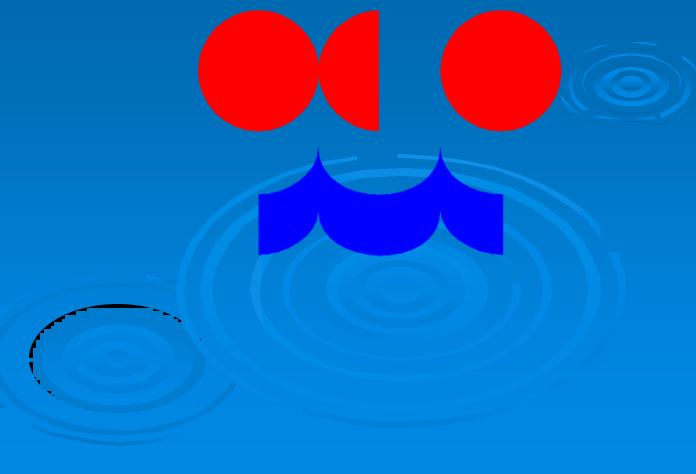


# Kontrola kvality dat a homogenizace

Mgr. Petr Štěpánek, Ph.D.  
Mgr. Pavel Zahradníček, Ph.D.



Změna a kolísání klimatu  
Geografický ústav, Brno



# Český hydrometeorologický ústav

příspěvková organizace spadající pod MŽP

územní působnost: celá ČR (6 poboček  
plus centrum v Praze)

cca. 700 zaměstnanců





METEOROLOGIE

OCHRANA ČISTOTY OVZDUŠÍ

HYDROLOGIE

PŘEDPOVĚDI

AKTUÁLNÍ SITUACE

HISTORICKÁ DATA

INFORMACE PRO VÁS

O NÁS

ODKAZY

KONTAKTY

LOG-IN

Home

**VÝSTRAHY PVI\_25/11**

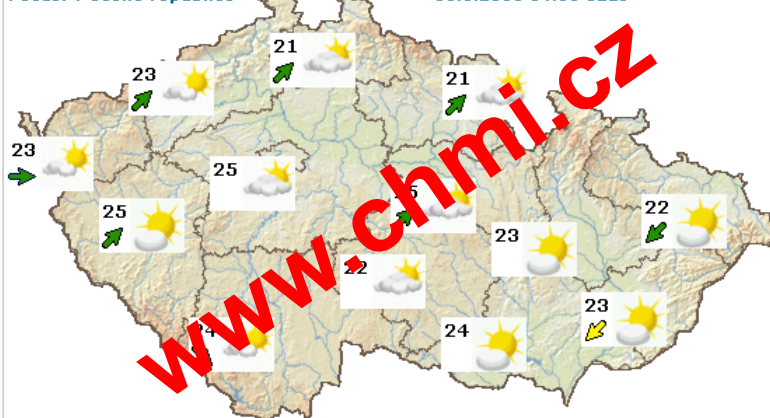
Je v platnosti **Předpovědní výstražné informace na jevy: Silné bouřky (nízký stupeň nebezpečí)**,  
Pro kraje: platí pro celé území České republiky  
Platnost: od 12.05.2011 12:00 do 13.05.2011 00:00

&gt;&gt;Podrobnosti

>>Systém integrované výstražné služby (SIVS)  
>>Evropský výstražný systém METEOPRED**POČASÍ**    **VODA**    **OVZDUŠÍ**

Počasí v České republice

11.5.2011 14:00 SELČ

Předpověď pro ČR  
Čtvrtek

Ráno	Odpoledne
8/12	21/25

Pátek	
7/11	18/22

Sobota	
6/10	20/24

## MAPA VÝSTRAH

>>Systém integrované výstražné služby (SIVS)  
>>Evropský výstražný systém METEOPRED  
>>SMS výstrahy (SMS InfoKanál)  
>>Hlásná a předpovědní povodňová služba

K 1.6.2011 bude ukončen provoz stránek původního webu ČHMÚ, nyní dočasně provozovaného jako old.chmi.cz.

## AKTUALITY

06.04.2011

## ■ Radarové a družicové snímky pro mobily

Pro značný zájem široké veřejnosti byly zpřístupněny animace radarových odrazů a snímků družice Meteosat pro mobilní telefony na následujících adresách:

radarové snímky:  
[www.chmi.cz/files/radm.html](http://www.chmi.cz/files/radm.html)  
družicové snímky:  
[www.chmi.cz/files/satm.html](http://www.chmi.cz/files/satm.html)

01.03.2011

■ Vyhodnocení jarních povodní  
[Vyhodnocení povodní v květnu a červnu 2010](#)**ZPRÁVY**

04.05.2011

**Sněhová pokryvka 4. května 2011**

Sněhová pokryvka v květnu na horách není každý rok, ale není ani nikak výjimečná. Na horách se v květnu může vyskytnout jak nový sníh, jako letos, tak přetrvání sněhu ze zimy.  
Dnes 4. 5. 2011 v 8 hodin letního času stanice Labská bouda naměřila 31 cm, Luční bouda 20 cm, Šerák, Pec pod Sněžkou a Paprsek 15 cm, Javorník 8 cm, Fichtelberg 6 cm, na stanicích Červená, Jeseník, Deštné v Orlických



INFORMACE O POČASÍ



TISKOVÉ ZPRÁVY



## **EXTERNÍ A INTERNÍ KOMUNIKACE**

**Hledat** 2011-05-11 středa 14:50 Praha: Slunce 105:21 ↓ 20:39 transit 13:00 délka dne 15:18 obč. soumrak 04:45 21:16 25.9 °C 2011-05-11 14:49

**VAROVÁNÍ A VÝSTRAHY**

**Pravidelné jednání IPCC**  
2011-05-11 10:58 ... Autor: Radim Tolášz **informace** comments: 0 hits: 25

Od pondělí probíhá ve Spojených Arabských Emirátech (Abu Dhabi) 33. zasedání IPCC (Mezinárodní panel pro změny klimatu). Proběhly samozřejmě běžné úvodní oficiality, celkově hladce prošly obecné body týkající se záznamu z předchozího jednání nebo rozpočtu na další období. Plenum přijalo shrnutí zprávy o obnovitelných zdrojích, které připravila pracovní skupina v minulém týdnu (odkaz pod článkem). Od včerejšího odpoledne (a odhadu), že dnes dlouho do noci) projednáváme materiály připravené v reakci na závěry auditu z minulého roku. Jedná se hlavně o úpravy procedur používaných v IPCC a o přípravu dosud chybějící komunikační strategie IPCC (materiály o&nb...)

**TEPLOTA VZDUCHU**

**Měsíční výhled počasí pro ČR na období od 11. května do 10. června 2011**  
2011-05-10 14:22 ... Autor: CHMÚ **předpověď** comments: 0 hits: 165

Průměrný úhrnný srážek v ČR v tomto období:  
76,3 mm a interval průměrných srážek je od 58,4 mm do 82,6 mm

Průměrná teplota v ČR v tomto období:  
14,2 °C a interval průměrných teplot je od 13,4 °C do 14,9 °C.

Srážkové a teplotní rekordy v ČR pro toto období od roku 1934:

**SATELITNÍ SNIŽEK**

**Zhodnocení zimní "smogové" sezóny 2010/2011 na severu Moravě a ve Slezsku**  
2011-05-10 10:35 ... Autor: Roman Volný **informace** comments: 0 hits: 91

Možná nastal čas krátce ohlédnout se za průběhem zimní "smogové" sezóny 2010/2011 na Moravě a ve Slezsku. Bilancování to bude poměrně krátké, ale i tak opravil radostné.

Je obecně známo, že v konečném výsledku jsou koncentrace znečišťujících látek (zde budeme mít na mysli především koncentrace suspendované částice PM10 — polétavý prach) významně ovlivňovány především meteorologickými podmínkami, rozmístěním v dané lokalitě, zvláště v nejchladnějších měsících zimního období.

Zimní sezónu 2010/2011 můžeme v základních obrvsech přiřadit k těm celkově chladnějším a z pohledu

**METEOFOTO**

**Umístění dubna 2011 v klementinské teplotní řadě**  
2011-05-09 21:02 ... Autor: Pavel Jíra **klimatologie** comments: 0 hits: 103

V článku **Duben 2011** jsou uváděny charakteristiky letošního dubna pro celé území ČR. V článku je uvedeno, že na území ČR byl duben 2011 o 3,1 °C teplejší než průměr 1961-90 a že tento duben je za posledních 50 let 4. až 5. nejteplejší.

A jak se tento duben jeví pro stanici Praha — Klementinum v 236leté teplotní řadě? I zde byl duben velmi teplý. Průměrná dubnová teplota v Klementinu byla 13,7 °C, což znamená odchylku +4,3 °C od 236letého -8 °C. Zde ještě jednou významnou hodnotou je fakt, že duben 2011 ještě nebyl teplejší než duben 2010, když byl teplotně +8,2 °C.

**WEBCAM**

**VE ČTVRTEK BOUŘKY**  
2011-05-11 13:19 **informace** com: 0 hits: 52

Během čtvrtka bude přes naše území přecházet studená fronta, na které se budou mít vyskytovat i bouřky. Ty budou ojediněle doprovázeny intenzivnějšími srážkami s úhrny kolem 25 mm za hodinu a kroupami. Nízký stupeň nebezpečí ve výstražné informaci naznačuje, že by bouřky neměly být extrémně silné a nebezpečné projevy b...

**Denní amplituda teploty 10. května**  
2011-05-11 00:12 **informace** com: 0 hits: 116

Zatímco maximální teploty byly v úterý poměrně vyrovnané a závisely zejména na nadmořské výšce, minimální teploty byly značně rozdílné, nejnižší byly zejména v údolích, nejen horských. Proto byla značně rozdílná i denní amplituda teploty. Podle dosud dostupných údajů nejvyšší denní amplituda teploty, 29,2 °C, byla v...

**Nejvyšší denní teploty v Evropě**  
2011-05-10 11:36 **informace** com: 0 hits: 93

Kolem hluboké tlakové níže nad východním Atlantikem proudí do západní Evropy teplý vzduch od jihozápadu a tak nejvyšší denní teploty vystupují na Pyrenejském poloostrově, ve Francii, v Německu a na jihu Dánska na 24 až 28 °C. Ve Španělsku a na jihozápadě Francie ojediněle i na 30, 31 °C, jako třeba na stanici Be...

**MENU**

Validní položky

- HOMEPAGE**
- ARCHIV**
- SOUBORY**
- TISKOVÉ ZPRÁVY**
- FOTOGALERIE**
- FOTOBANKA**
- AUDIO**
- VIDEO**
- KNIHOVNA**
- ROČENKA**
- DATA**
- ODKAZY**

Nevalidní položky

- ARCHIV ČLÁNKŮ**
- ARCHIV SOUBORŮ**
- ARCHIV TISK-ZPRÁV**

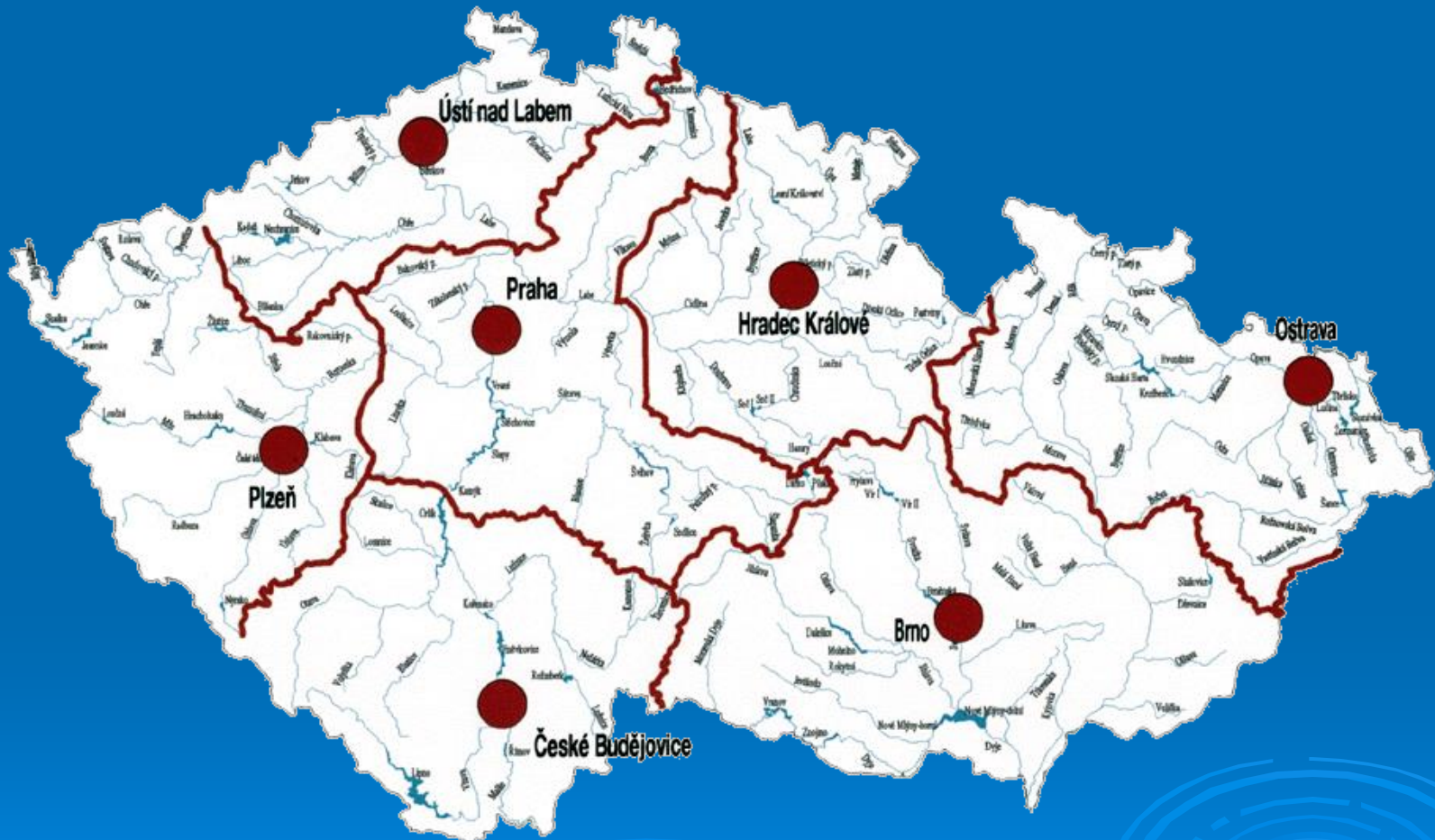
**LOGIN**

**POČASÍ**

- Wetter 3 – Fax
- Wetter Online
- Wetterzentrale
- GFS animace 000-1800

**www.infomet.cz**

# ČHMÚ - Územní působnost poboček



Pobočky ústavu se sídlem v Praze, Českých Budějovicích, Plzni, Ústí nad Labem, Hradci Králové, Brně a Ostravě zajišťují úkoly ústavu ve vymezených regionech. Zřizují a spravují staniční sítě meteorologie, včetně agrometeorologie a fenologie, dále hydrologie povrchových a podzemních vod a ochrany čistoty ovzduší, v nichž funkci pozorovatelů vykonávají dobrovolní pracovníci nebo jsou sítě plně automatizovány.

Pobočky provádějí sběr a první zpracování hydrometeorologických údajů, poskytují odborným uživatelům a veřejnosti operativní a režimové informace z území své působnosti a podle pověření vykonávají některé specializované činnosti v zastoupení celého ústavu.

# Jak se měří počasí?

Meteorologická profesionální stanice Plzeň, Mikulka



Klimatologická dobrovolnická stanice Rožnov p. Radhoštěm



- celkem 37 stanic
- pozorují nepřetržitě
- celkem 181 stanic
- Měření a pozorování 3 x denně (07:00, 14:00, 21:00)
- Automatizované stanice většinou

## KLIMATOLOGICKÉ STANICE ČHMÚ

stav: leden 2008



[www.chmi.cz](http://www.chmi.cz)



Layout © Petr Skalák. Data © Český hydrometeorologický ústav



[www.chmi.cz](http://www.chmi.cz)

# SRÁŽKOMĚRNÉ STANICE ČHMÚ

stav: leden 2008



# Brno – Tuřany (profesionální stanice)



# Dukovany (profesionální stanice)



# Dukovany (profesionální stanice)

- Stožár na měření rychlosti větru
- 5 pater měření rychlosti větru (18,42,79,119 a 136 m)



# Dukovany (professionální stanice)



# Dyjákovice (automatická stanice)

- Data v 10 minutovém kroku (v minulosti v 15 minutovém)



# Lednice (manuální stanice)

- Data v papírových výkazech jednou za měsíc, nutná digitalizace



# Oddělení meteorologie a klimatologie



RYCHLOST A SMĚR VĚTRU  
- optoelektronická čidla VAISALA



MĚŘENÍ SRÁŽEK  
- člunkový srážkoměr MR3H Meteoservis

# Oddělení meteorologie a klimatologie



Vaisala BAROCAP Sensors

The Vaisala BAROCAP® Sensor is a capacitive, absolute pressure sensor manufactured by silicon micromachining. The sensor has excellent hysteresis and repeatability characteristics, as well as outstanding temperature and long-term stability.

#### The operating principle

When the pressure changes, the silicon diaphragm bends and changes the height of the vacuum gap in the sensor. This changes the capacitance of the sensor, which is measured and converted into a pressure reading.

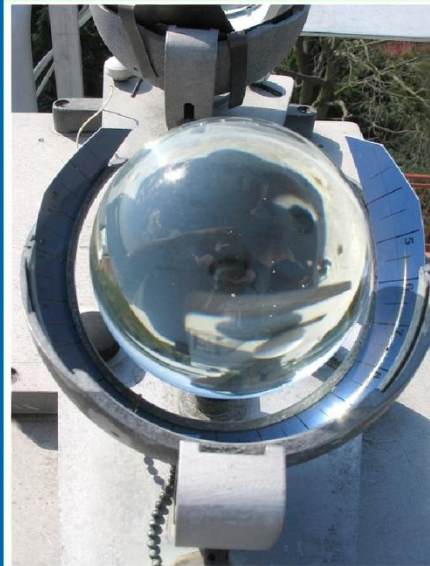
The Vaisala BAROCAP® Sensor combines two powerful techniques: the use of single crystal silicon as sensor material, and the capacitive measurement principle. Silicon offers good elasticity, low hysteresis, excellent repeatability, small temperature dependence and superior long-term stability. Thanks to the capacitive pressure sensor

structure, the sensor has a wide dynamic range and a built-in overpressure blocking mechanism.

#### Applications

Vaisala's barometers offer excellent performance in a variety of applications. In meteorology, barometric pressure is measured in weather stations, data buoys, GPS meteorology and other environmental data logging. In industry barometric pressure data is needed for pressure sensitive industrial equipment, such as laser interferometers and lithography systems, aircraft applications and engine test benches. In actual metrology typical applications include laboratory pressure standard measurements and calibration laboratory monitoring.

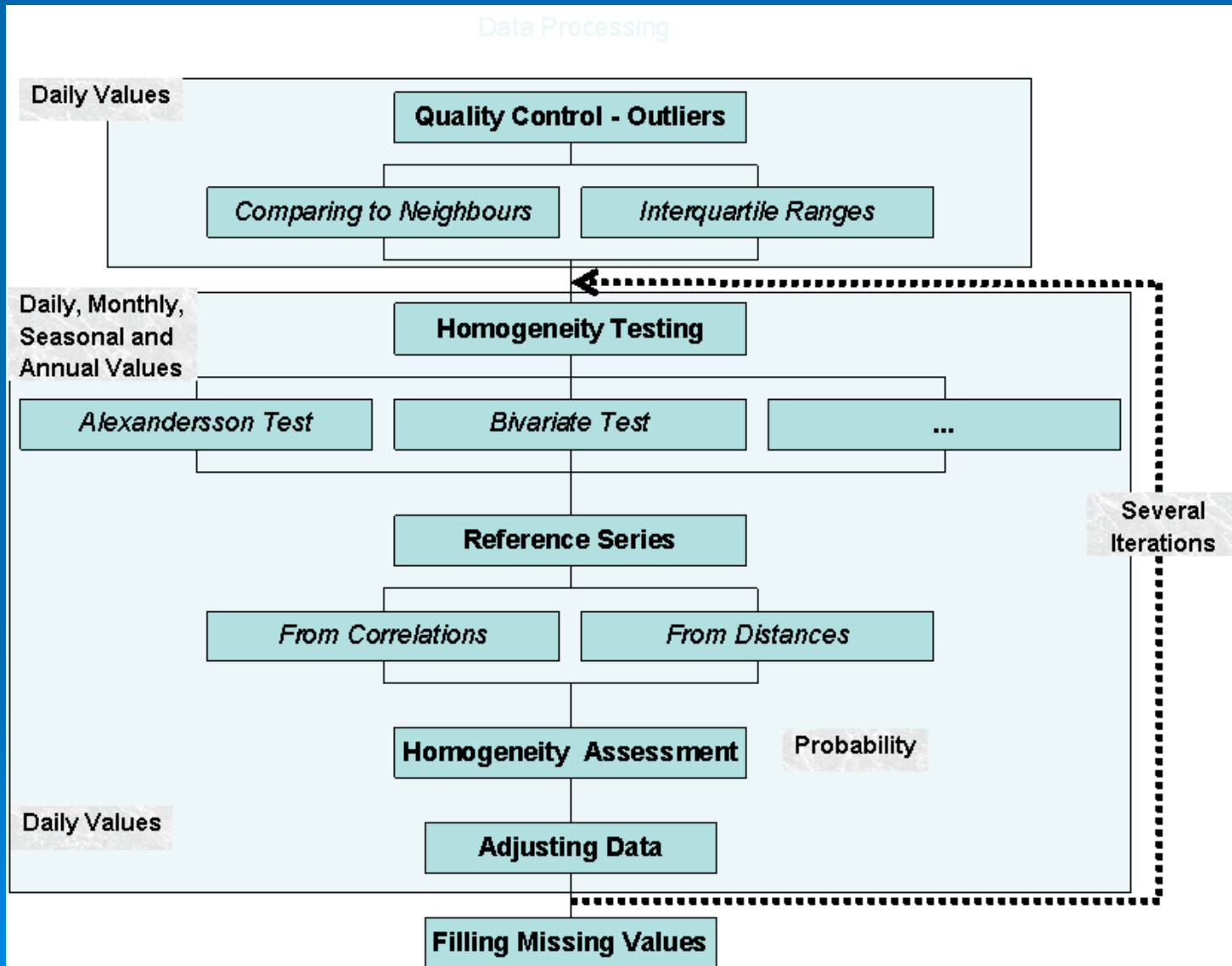
**TLAK VZDUCHU**  
- tlakové čidlo BAROCAP VAISALA



## SLUNEČNÍ SVIT

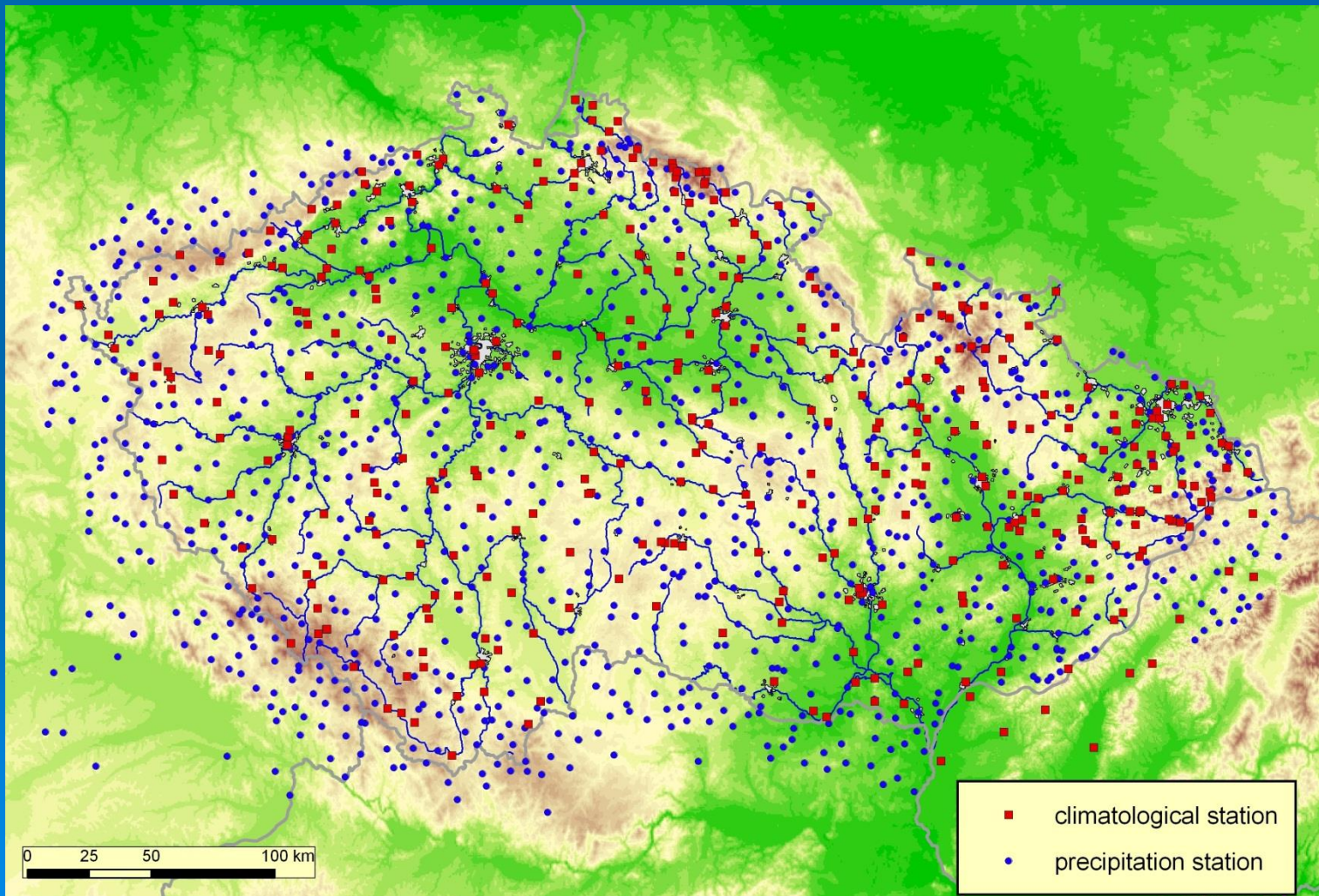
- heliograf Campbell - Stokes
- digitální detektor přímého slunečního záření SD5 Meteoservis

# Proces před analýzou dat



# Kontrola kvality

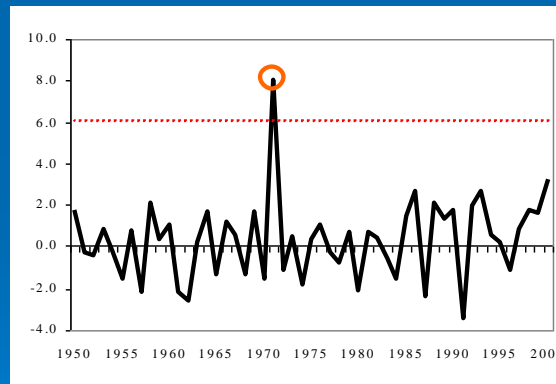
- V období 1961-2010 bylo testováno od 329 do 413 klimatologických stanic a 1481 srážkoměrných stanic



# Kontrola kvality dat

## ➤ Základní přístupy:

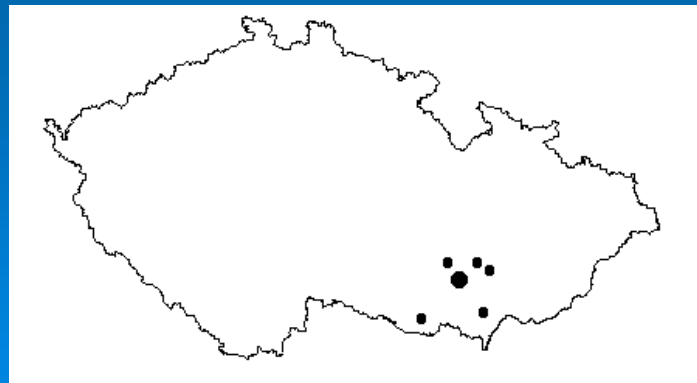
- Použití mezikvartilových odchylek
  - Absolutně: pokud není dostatečné množství kvalitních sousedních stanic
  - Relativně: porovnání řady odchylek/poměrů mezi testovanou a referenční řadou



# Kontrola kvality dat

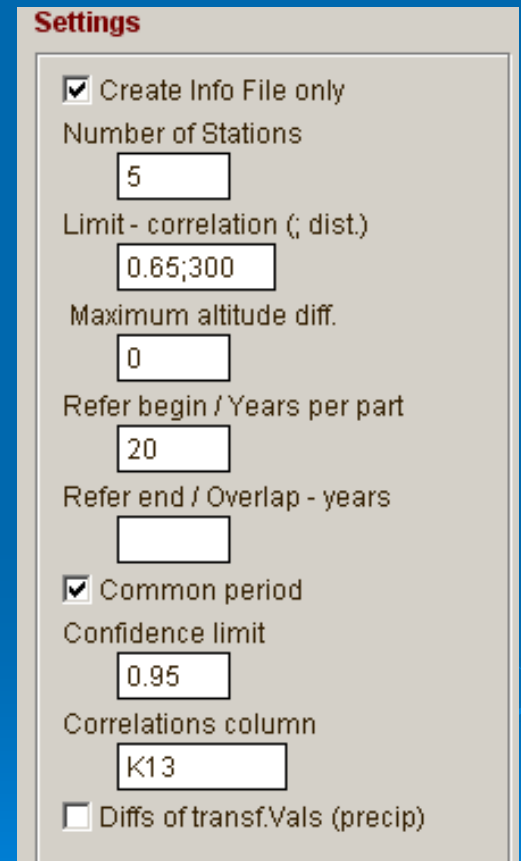
## ➤ Základní přístupy:

- Použití mezikvartilových odchylek
  - Absolutně: pokud není dostatečné množství kvalitních sousedních stanic
  - Relativně: porovnání řady odchylek/poměrů mezi testovanou a referenční řadou
- Porovnání testované hodnoty s okolními stanicemi



# Kontrola kvality: Referenční řady

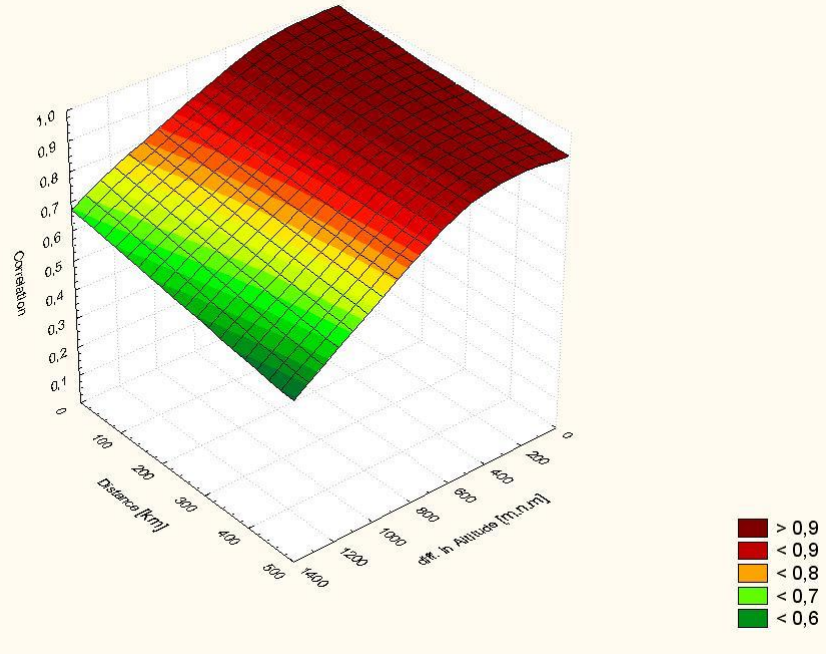
- Pro měsíční i denní data
- Kritérium pro volbu stanic:
  - Nejlépe korelující nebo nejbližší stanice (korelace počítány z 1. diferencí)
  - Nastaveny maximální limity pro vzdálenost, korelace a rozdíl nadmořské výšky
- Sousední stanice standardizovány průměr a směrodatnou odchylku a nebo nadmořskou výšku testované stanice
- Porovnáno s vypočtenou „očekávanou“ hodnotou – získána metodou IDW (různá síla váhy/vzdálenost podle meteorologického prvku) ze standartizovaných okolních stanic



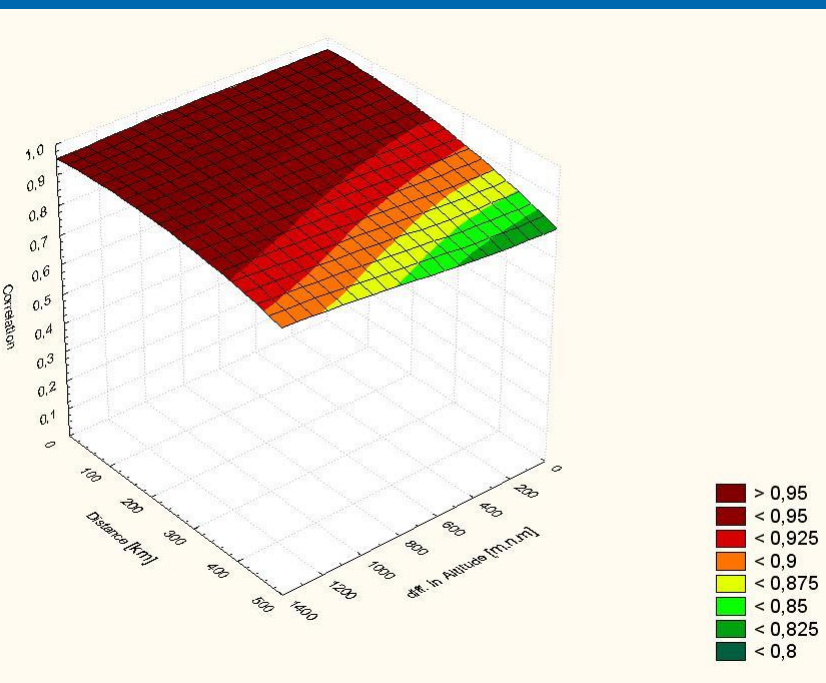
# Kontrola kvality dat

leden

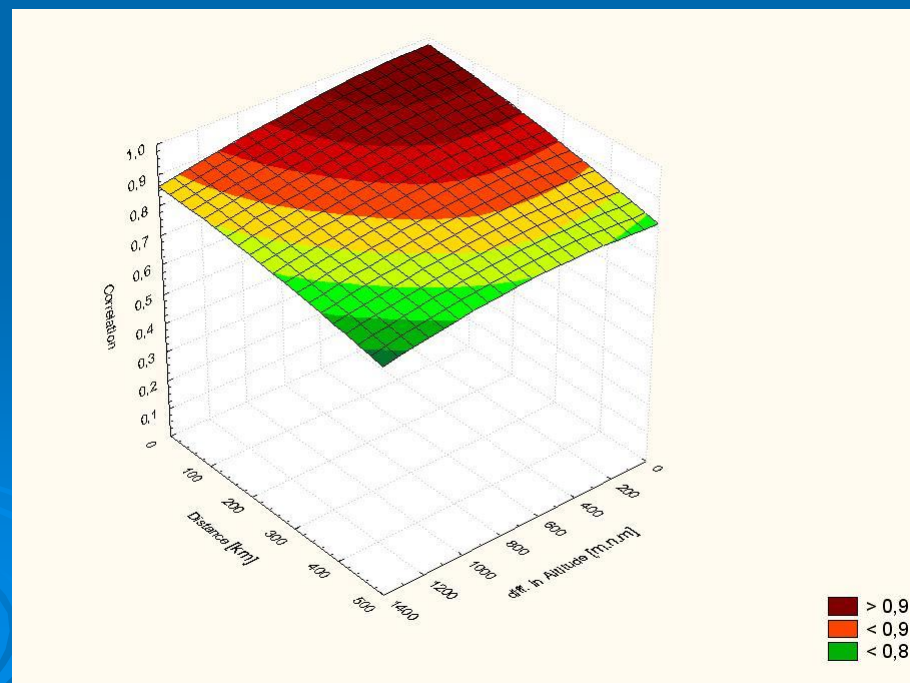
Prostorová korelace –  
teplota vzduchu



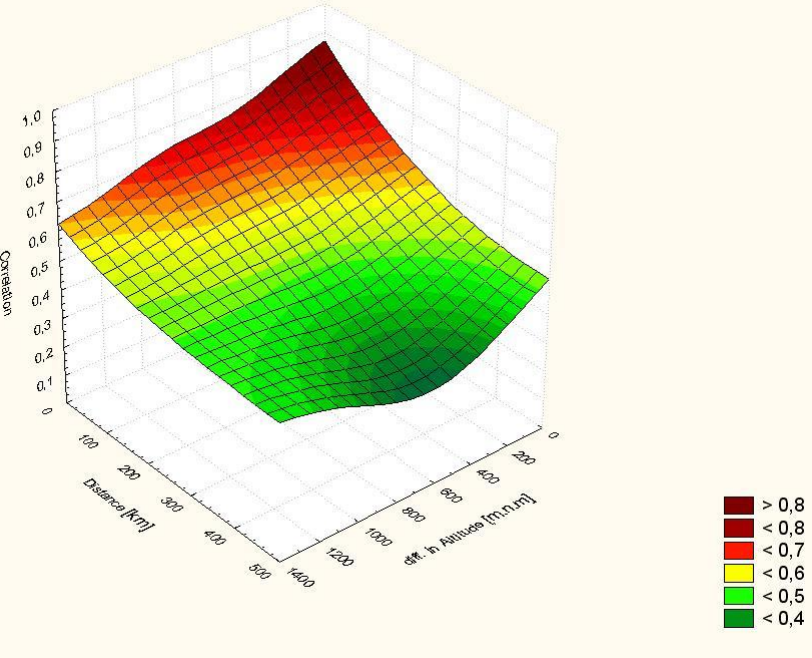
červenec



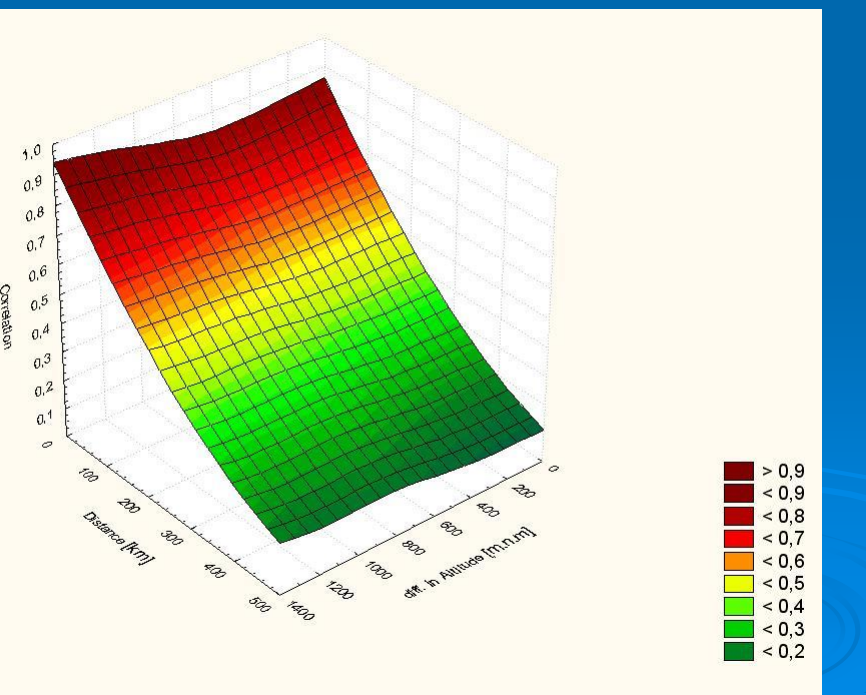
rok



# Kontrola kvality dat



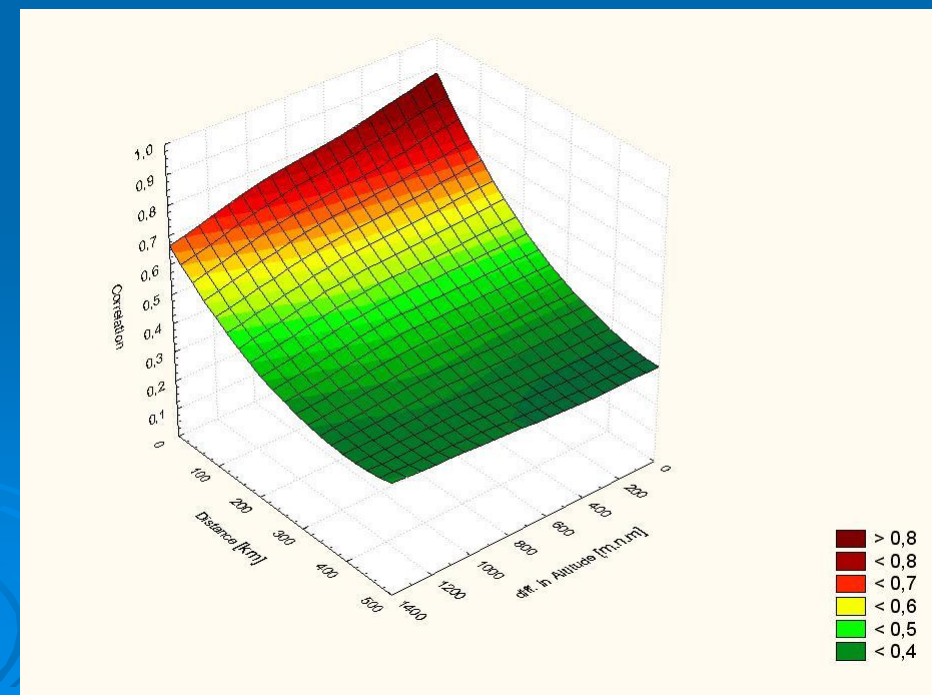
červenec



leden

Prostorová korelace –  
srážkové úhrny

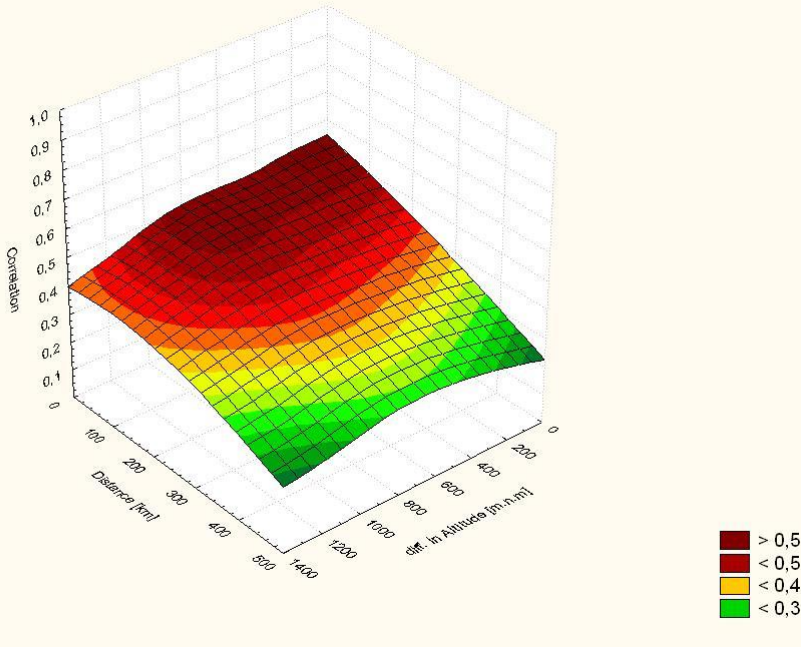
rok



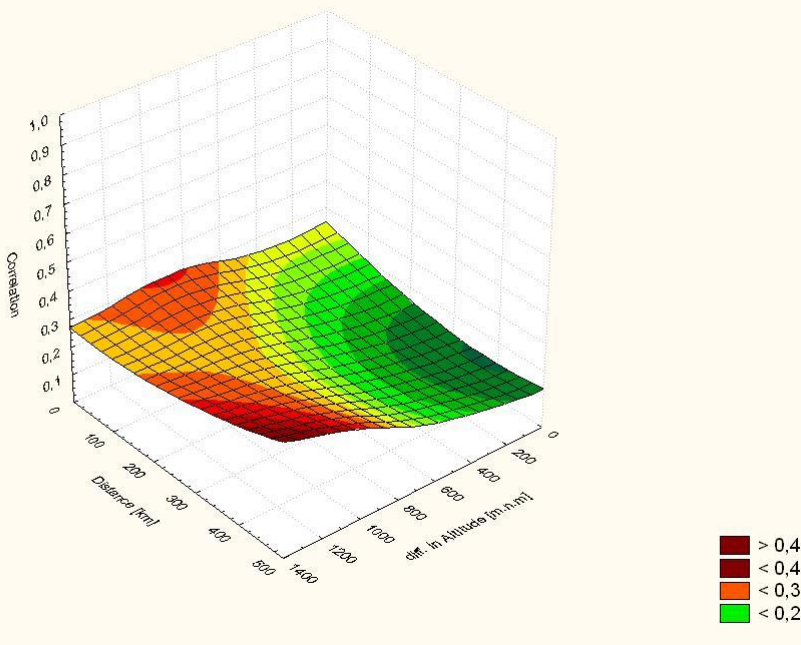
# Kontrola kvality dat

leden

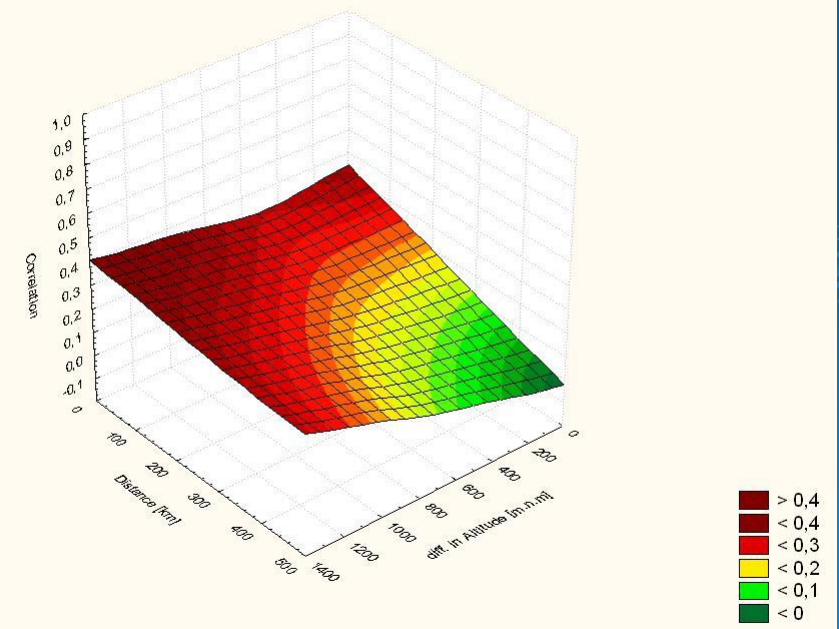
Prostorová korelace -  
rychlosť větru



červenec

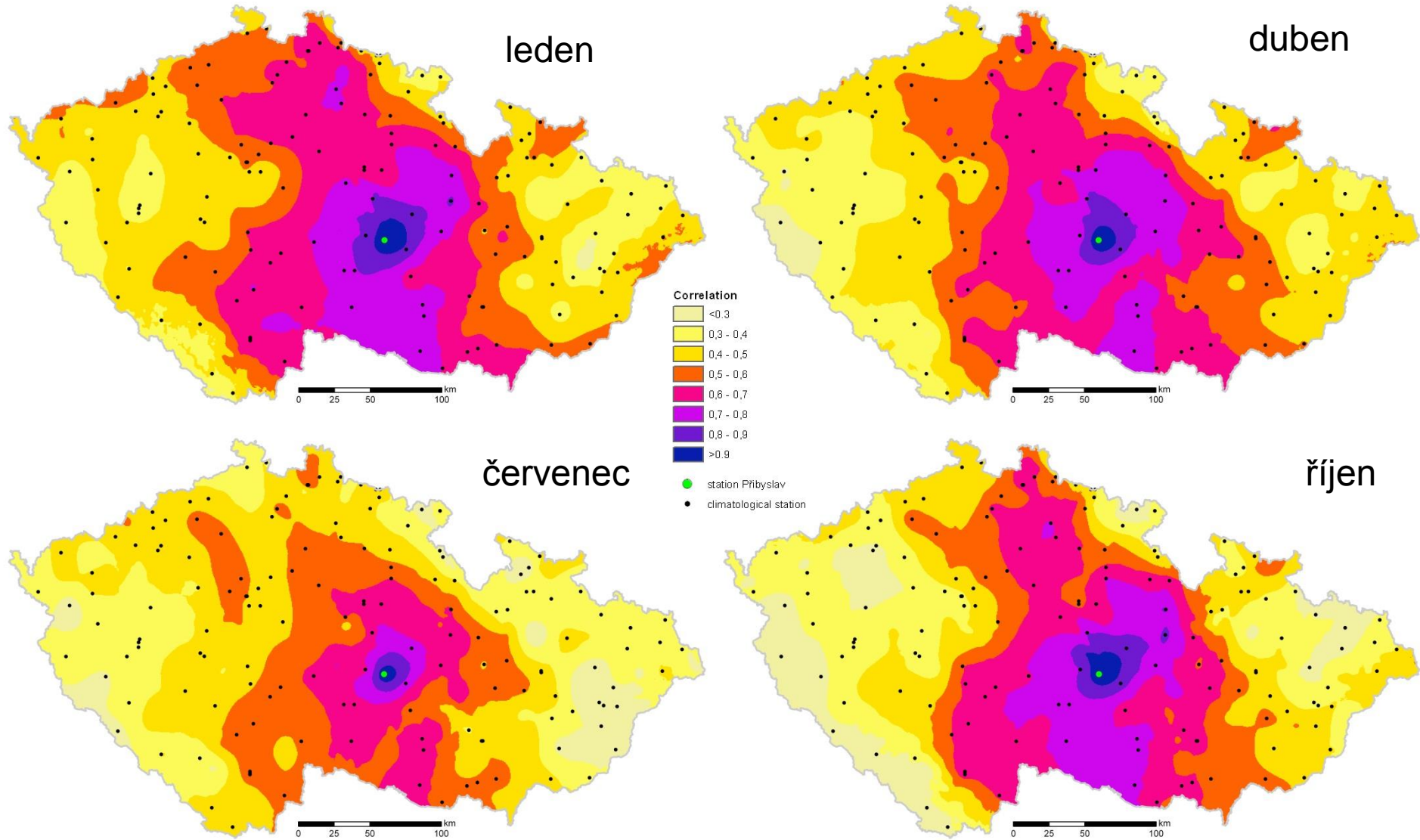


rok



> 0,4
< 0,4
< 0,3
< 0,2
< 0,1
< 0

# Kontrola kvality dat - Prostorová korelace - rychlosť větru

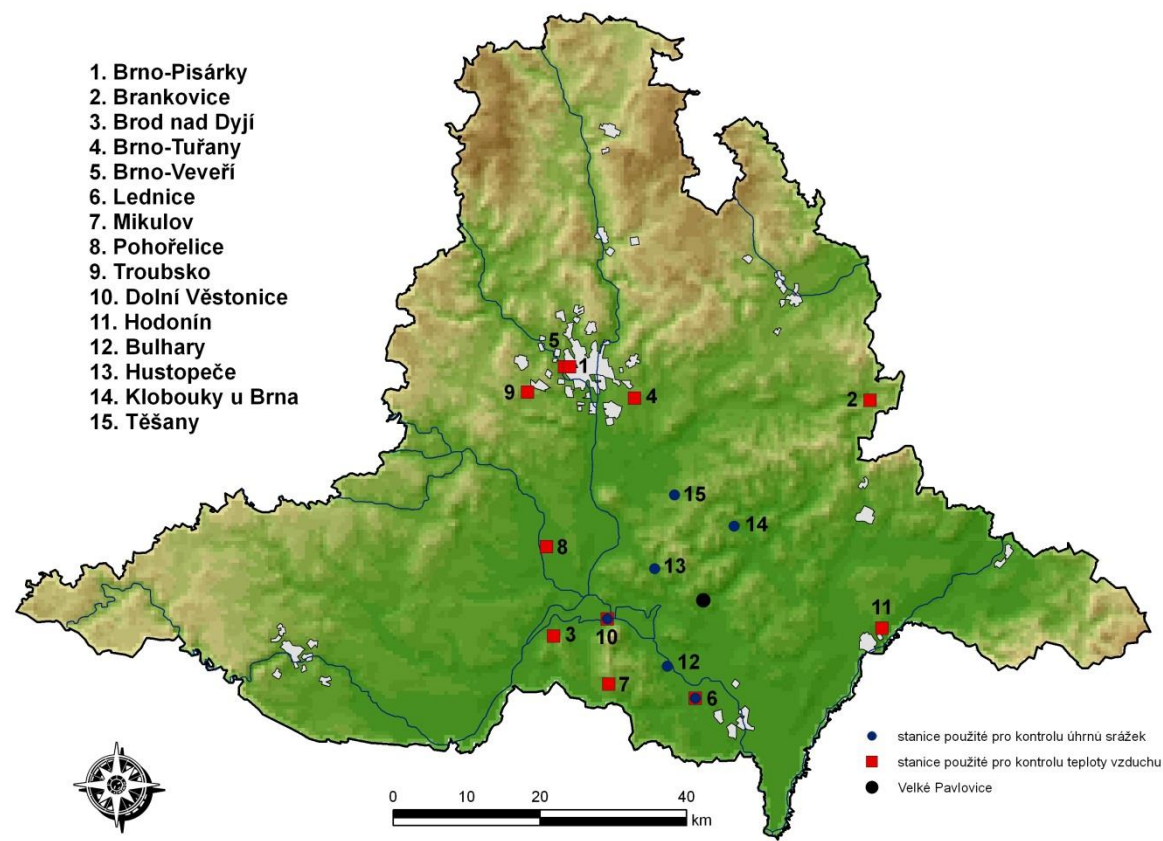


# Výběr sousedů pro výpočet referenční řady pro kontrolu kvality dat

ID_1	ID_2	REGION	BEGIN	END	LENGTH	REMARK	CORREL	DISTANCE	AZIMUTH	ALT_1	ALT_2	K1
B2VPAV01	T_07:00	1.1.1961	31.12.1970	3652	6 st. (l:36.74)			56.95	137.7	196		
	B2LEDN01	T_07:00	1.1.1961	31.12.2010	3652	y. comm.per.		13.06	-98.2	196	177	-19.00
	B2MIKU01	T_07:00	1.1.1961	30.6.1983	3652	y. comm.per.		17.97	-139.8	196	220	24.00
	B2POHO01	T_07:00	1.1.1961	31.12.2010	3652	y. comm.per.		23.23	158.6	196	180	-16.00
	B1HODO01	T_07:00	1.1.1961	31.12.1979	3652	y. comm.per.		23.72	-11.5	196	186	-10.00
	B2BTUR01	T_07:00	1.1.1961	31.12.2010	3652	y. comm.per.		28.96	109.9	196	241	45.00
	B2BPI02	T_07:00	1.1.1961	31.12.1971	3652	y. comm.per.		36.74	119.9	196	223	27.00
B2VPAV01	T_07:00	1.1.1971	31.12.1980	3653	6 st. (l:45.78)			32.38	-27.6	196		
	B2LEDN01	T_07:00	1.1.1961	31.12.2010	3653	y. comm.per.		13.06	-98.2	196	177	-19.00
	B2MIKU01	T_07:00	1.1.1961	30.6.1983	3653	y. comm.per.		17.97	-139.8	196	220	24.00
	B2POHO01	T_07:00	1.1.1961	31.12.2010	3653	y. comm.per.		23.23	158.6	196	180	-16.00
	B2BTUR01	T_07:00	1.1.1961	31.12.2010	3653	y. comm.per.		28.96	109.9	196	241	45.00
	B1STRZ01	T_07:00	1.1.1961	31.12.2010	3653	y. comm.per.		37.60	-1.4	196	176	-20.00
	B6SENI01	T_07:00	1.7.1964	30.6.2004	3653	y. comm	---					
B2VPAV01	T_07:00	1.1.1981	31.12.1990	3652	6 st. (l:45.78)							
	B2LEDN01	T_07:00	1.1.1961	31.12.2010	3652	y. comm						
	B2POHO01	T_07:00	1.1.1961	31.12.2010	3652	y. comm						
	B2BTUR01	T_07:00	1.1.1961	31.12.2010	3652	y. comm						
	B2HEVL01	T_07:00	1.1.1974	31.12.1991	3652	y. comm						
	B1STRZ01	T_07:00	1.1.1961	31.12.2010	3652	y. comm						
	B6SENI01	T_07:00	1.7.1964	30.6.2004	3652	y. comm						
B2VPAV01	T_07:00	1.1.1991	31.12.2000	3653	6 st. (l:37.57)							
	B2LEDN01	T_07:00	1.1.1961	31.12.2010	3653	y. comm						
	B2BROD01	T_07:00	1.1.1982	31.12.2010	3653	y. comm						
	B2POHO01	T_07:00	1.1.1961	31.12.2010	3653	y. comm						
	B6HOLI01	T_07:00	1.1.1989	31.12.2007	3653	y. comm						
	B2BTUR01	T_07:00	1.1.1961	31.12.2010	3653	y. comm						
	B2TROU01	T_07:00	1.4.1981	31.12.2010	3653	y. comm						
B2VPAV01	T_07:00	1.1.2001	26.11.2008	2887	6 st. (l:37.60)							
	B2LEDN01	T_07:00	1.1.1961	31.12.2010	2887	y. comm						
	B2BROD01	T_07:00	1.1.1982	31.12.2010	2887	y. comm						
	B2POHO01	T_07:00	1.1.1961	31.12.2010	2887	y. comm						
	B2BTUR01	T_07:00	1.1.1961	31.12.2010	2887	y. comm						
	B2TROU01	T_07:00	1.4.1981	31.12.2010	2887	y. comm						
	B1STRZ01	T_07:00	1.1.1961	31.12.2010	2887	y. comm						

Každých 10 let nový výběr

Velké Pavlovice



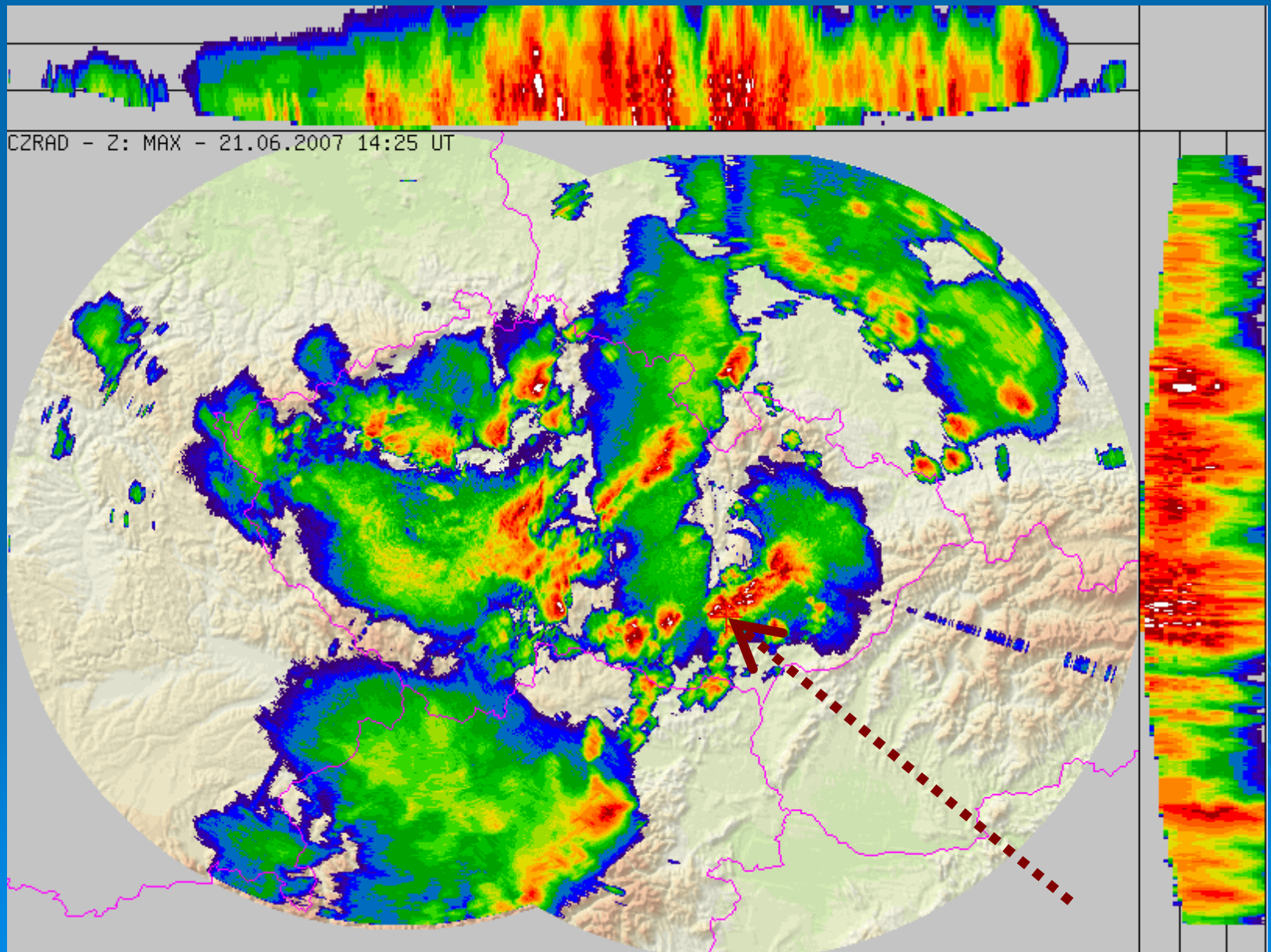
# Ukázka výstupu detekovaných potenciálních chyb

A	B	C	D	E	F	G	H	I	J	K	L	M	N
REGIC	ID	YE	MONT	DA	ST_BASE	EXPECT	REMAR	ST_1	ST_2	ST_3	ST_4	ST_5	DIF1_S
T_03:30	B2BTUR01_T_03:30				241,00		Altitude	235,00	670,00	203,00	210,00	749,00	1
T_03:30	B2BZAB01_T_03:30						st_1, di	11,58					
T_03:30	B1PROT01_T_03:30						st_2, di		36,85				
T_03:30	O3PRER01_T_03:30						st_3, di			59,12			
T_03:30	O2OLOM01_T_03:30						st_4, di				62,88		
T_03:30	O1CERV01_T_03:30						st_5, di					91,95	
<b>T_03:30</b>	<b>B2BTUR01_T_03:30</b>	<b>2006</b>	<b>6</b>	<b>25</b>	<b>27,30</b>	<b>17,28</b>		<b>17,30</b>	<b>16,10</b>	<b>15,50</b>	<b>15,80</b>	<b>16,10</b>	<b>-7</b>
T_03:45	B2BTUR01_T_03:45				241,00		Altitude	235,00	670,00	203,00	210,00	749,00	1
T_03:45	B2BZAB01_T_03:45						st_1, di	11,58					
T_03:45	B1PROT01_T_03:45						st_2, di		36,85				
T_03:45	O3PRER01_T_03:45						st_3, di			59,12			
T_03:45	O2OLOM01_T_03:45						st_4, di				62,88		
T_03:45	O1CERV01_T_03:45						st_5, di					91,95	
<b>T_03:45</b>	<b>B2BTUR01_T_03:45</b>	<b>2006</b>	<b>6</b>	<b>25</b>	<b>26,50</b>	<b>17,26</b>		<b>17,30</b>	<b>16,30</b>	<b>15,80</b>	<b>15,60</b>	<b>16,20</b>	<b>-7</b>
T_04:00	B2BTUR01_T_04:00				241,00		Altitude	235,00	670,00	203,00	210,00	749,00	1
T_04:00	B2BZAB01_T_04:00						st_1, di	11,58					
T_04:00	B1PROT01_T_04:00						st_2, di		36,85				
T_04:00	O3PRER01_T_04:00						st_3, di			59,12			
T_04:00	O2OLOM01_T_04:00						st_4, di				62,88		
T_04:00	O1CERV01_T_04:00						st_5, di					91,95	
<b>T_04:00</b>	<b>B2BTUR01_T_04:00</b>	<b>2006</b>	<b>6</b>	<b>25</b>	<b>26,30</b>	<b>17,41</b>		<b>17,30</b>	<b>16,50</b>	<b>16,50</b>	<b>15,90</b>	<b>16,20</b>	<b>-7</b>
T_05:00	B2BTUR01_T_05:00				241,00		Altitude	235,00	670,00	203,00	210,00	749,00	1
T_05:00	B2BZAB01_T_05:00						st_1, di	11,58					
T_05:00	B1PROT01_T_05:00						st_2, di		36,85				
T_05:00	O3PRER01_T_05:00						st_3, di			59,12			
T_05:00	O2OLOM01_T_05:00						st_4, di				62,88		
T_05:00	O1CERV01_T_05:00						st_5, di					91,95	
<b>T_05:00</b>	<b>B2BTUR01_T_05:00</b>	<b>2006</b>	<b>6</b>	<b>25</b>	<b>24,70</b>	<b>17,52</b>		<b>17,30</b>	<b>17,20</b>	<b>17,30</b>	<b>16,30</b>	<b>17,20</b>	<b>-6</b>
T_08:00	B2BTUR01_T_08:00				241,00		Altitude	235,00	670,00	203,00	210,00	749,00	1
T_08:00	B2BZAB01_T_08:00						st_1, di	11,58					
T_08:00	B1PROT01_T_08:00						st_2, di		36,85				
T_08:00	O3PRER01_T_08:00						st_3, di			59,12			
T_08:00	O2OLOM01_T_08:00						st_4, di				62,88		
T_08:00	O1CERV01_T_08:00						st_5, di					91,95	

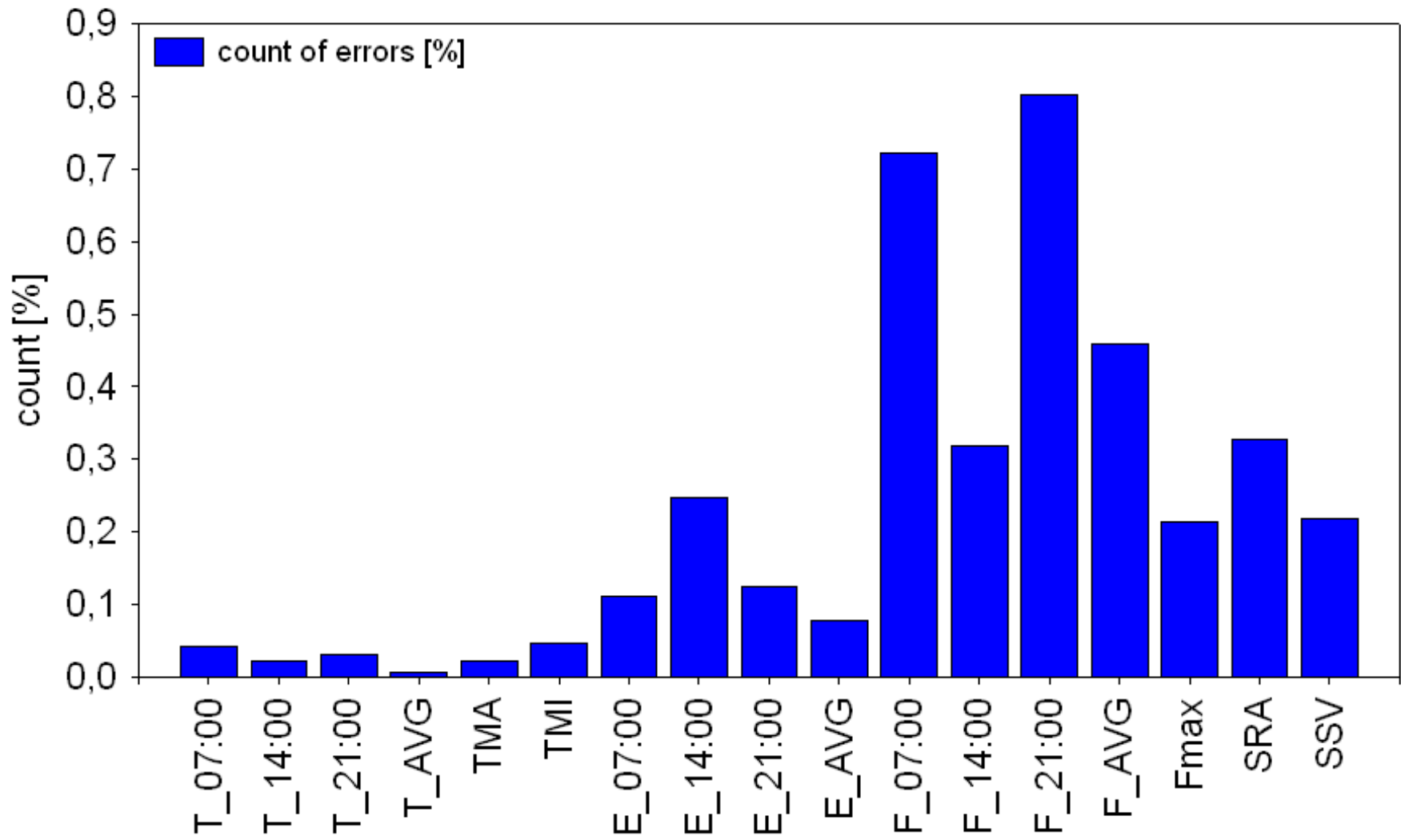
# Problematické detekce

ID	YEAR	MONTH	DAY	ST_BASE	EXPECT_VAL	REMARK	ST_1	ST_2	ST_3	ST_4	ST_5	D
B2BTUR01_SRA3H_16:00				241,00		Altitude	235,00	670,00	203,00	210,00	749,00	
B2BZAB01_SRA3H_16:00						st_1, di	11,58					
B1PROT01_SRA3H_16:00						st_2, di		36,85				
O3PRER01_SRA3H_16:00						st_3, di			59,12			
O2OLOM01_SRA3H_16:00						st_4, di				62,88		
O1CERV01_SRA3H_16:00						st_5, di						91,95
<b>B2BTUR01_SRA3H_16:00</b>	<b>2005</b>	<b>4</b>	<b>6</b>	<b>10,00</b>	<b>1,47</b>		<b>1,50</b>	<b>0,00</b>	<b>0,20</b>	<b>0,00</b>	<b>0,30</b>	
<b>B2BTUR01_SRA3H_16:00</b>	<b>2006</b>	<b>7</b>	<b>14</b>	<b>8,70</b>	<b>0,32</b>		<b>0,30</b>	<b>0,50</b>	<b>0,20</b>	<b>0,00</b>		
<b>B2BTUR01_SRA3H_16:00</b>	<b>2006</b>	<b>8</b>	<b>13</b>	<b>7,00</b>	<b>0,13</b>		<b>0,10</b>	<b>0,70</b>	<b>0,00</b>	<b>0,00</b>	<b>0,00</b>	
<b>B2BTUR01_SRA3H_16:00</b>	<b>2007</b>	<b>6</b>	<b>21</b>	<b>21,70</b>	<b>0,66</b>		<b>0,70</b>		<b>3,00</b>	<b>4,70</b>	<b>0,10</b>	
<b>B2BTUR01_SRA3H_16:00</b>	<b>2007</b>	<b>7</b>	<b>11</b>	<b>9,40</b>	<b>0,04</b>		<b>0,00</b>	<b>0,60</b>	<b>0,00</b>	<b>0,00</b>	<b>1,40</b>	
B2BTUR01_SRA3H_19:00				241,00		Altitude	235,00	670,00	203,00	210,00	749,00	
B2BZAB01_SRA3H_19:00						st_1, di	11,58					
B1PROT01_SRA3H_19:00						st_2, di		36,85				
O3PRER01_SRA3H_19:00						st_3, di			59,12			
O2OLOM01_SRA3H_19:00						st_4, di				62,88		
O1CERV01_SRA3H_19:00						st_5, di						91,95
<b>B2BTUR01_SRA3H_19:00</b>	<b>2005</b>	<b>5</b>	<b>23</b>	<b>8,00</b>	<b>0,03</b>		<b>0,00</b>	<b>0,20</b>	<b>0,00</b>	<b>0,00</b>	<b>0,00</b>	
<b>B2BTUR01_SRA3H_19:00</b>	<b>2005</b>	<b>7</b>	<b>23</b>	<b>7,00</b>	<b>1,73</b>		<b>1,80</b>	<b>1,00</b>	<b>0,00</b>	<b>0,00</b>	<b>0,00</b>	
<b>B2BTUR01_SRA3H_19:00</b>	<b>2006</b>	<b>5</b>	<b>13</b>	<b>4,40</b>	<b>0,02</b>		<b>0,00</b>	<b>0,00</b>	<b>0,00</b>	<b>0,00</b>	<b>0,10</b>	
<b>B2BTUR01_SRA3H_19:00</b>	<b>2006</b>	<b>7</b>	<b>8</b>	<b>13,70</b>	<b>-0,04</b>		<b>0,00</b>	<b>0,00</b>	<b>0,00</b>	<b>0,00</b>	<b>0,00</b>	
<b>B2BTUR01_SRA3H_19:00</b>	<b>2006</b>	<b>8</b>	<b>7</b>	<b>5,90</b>	<b>0,25</b>		<b>0,20</b>	<b>0,90</b>	<b>0,90</b>	<b>0,00</b>	<b>0,00</b>	
<b>B2BTUR01_SRA3H_19:00</b>	<b>2007</b>	<b>1</b>	<b>1</b>	<b>3,40</b>	<b>0,69</b>		<b>0,70</b>	<b>0,60</b>	<b>0,30</b>	<b>0,00</b>	<b>1,10</b>	
<b>B2BTUR01_SRA3H_19:00</b>	<b>2007</b>	<b>6</b>	<b>14</b>	<b>9,00</b>	<b>0,03</b>		<b>0,00</b>	<b>0,00</b>	<b>0,30</b>	<b>0,00</b>	<b>0,00</b>	
B2BTUR01_SRA3H_22:00				241,00		Altitude	235,00	670,00	203,00	210,00	749,00	
B2BZAB01_SRA3H_22:00						st_1, di	11,58					
B1PROT01_SRA3H_22:00						st_2, di		36,85				
O3PRER01_SRA3H_22:00						st_3, di			59,12			
O2OLOM01_SRA3H_22:00						st_4, di				62,88		
O1CERV01_SRA3H_22:00						st_5, di						91,95
<b>B2BTUR01_SRA3H_22:00</b>	<b>2005</b>	<b>4</b>	<b>25</b>	<b>1,90</b>	<b>0,39</b>		<b>0,40</b>	<b>0,10</b>	<b>0,20</b>	<b>0,00</b>	<b>0,10</b>	
<b>B2BTUR01_SRA3H_22:00</b>	<b>2005</b>	<b>6</b>	<b>25</b>	<b>20,00</b>	<b>7,69</b>		<b>7,70</b>	<b>8,00</b>	<b>8,60</b>	<b>8,00</b>	<b>8,00</b>	

# Problematické detekce – kombinace s radary a nebo jevy

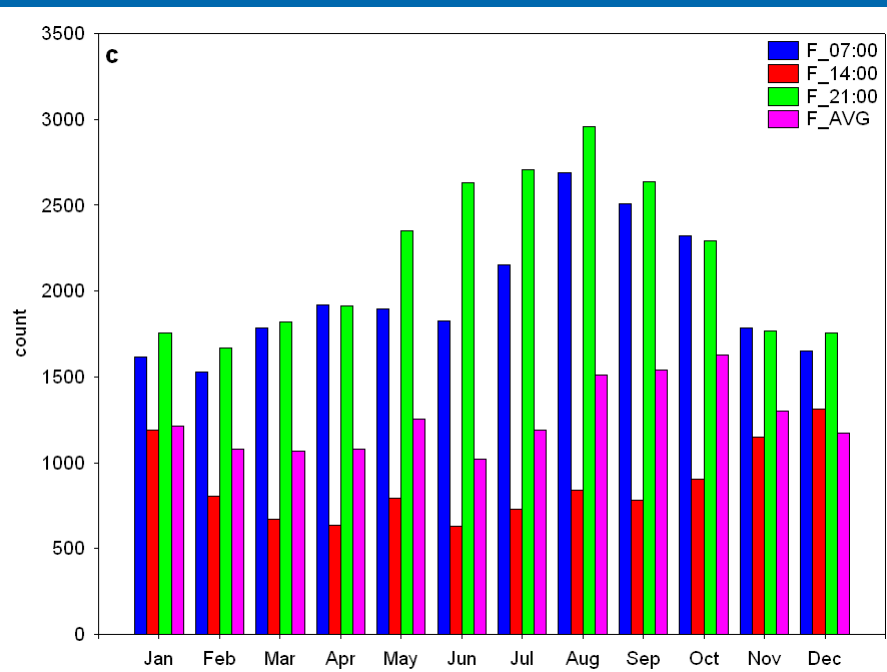
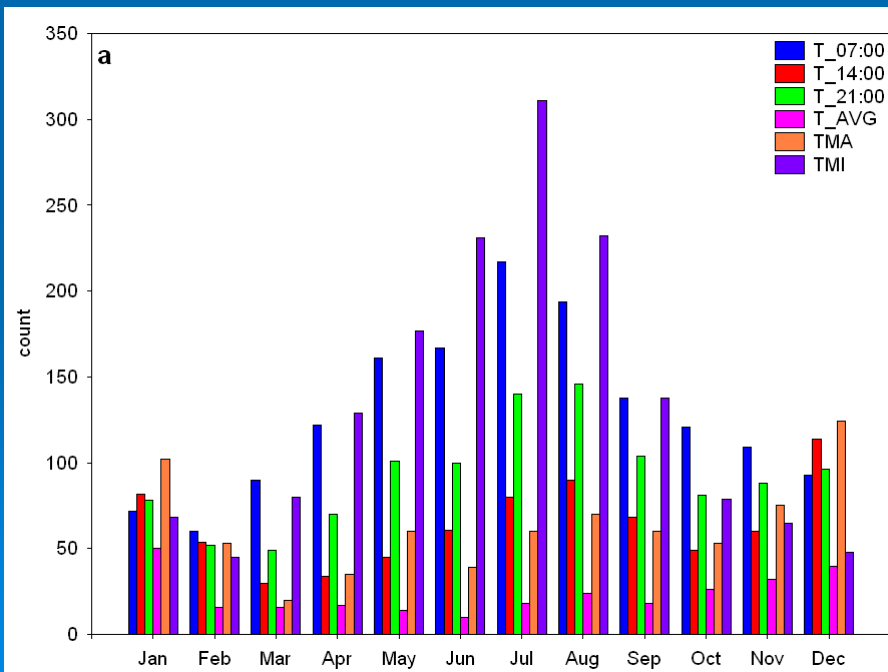


# Procento detekovaných potenciálních chyb za období 1961-2009 vyjádřeno k celkovému množství testovaných hodnot – nutné testovat termínové data

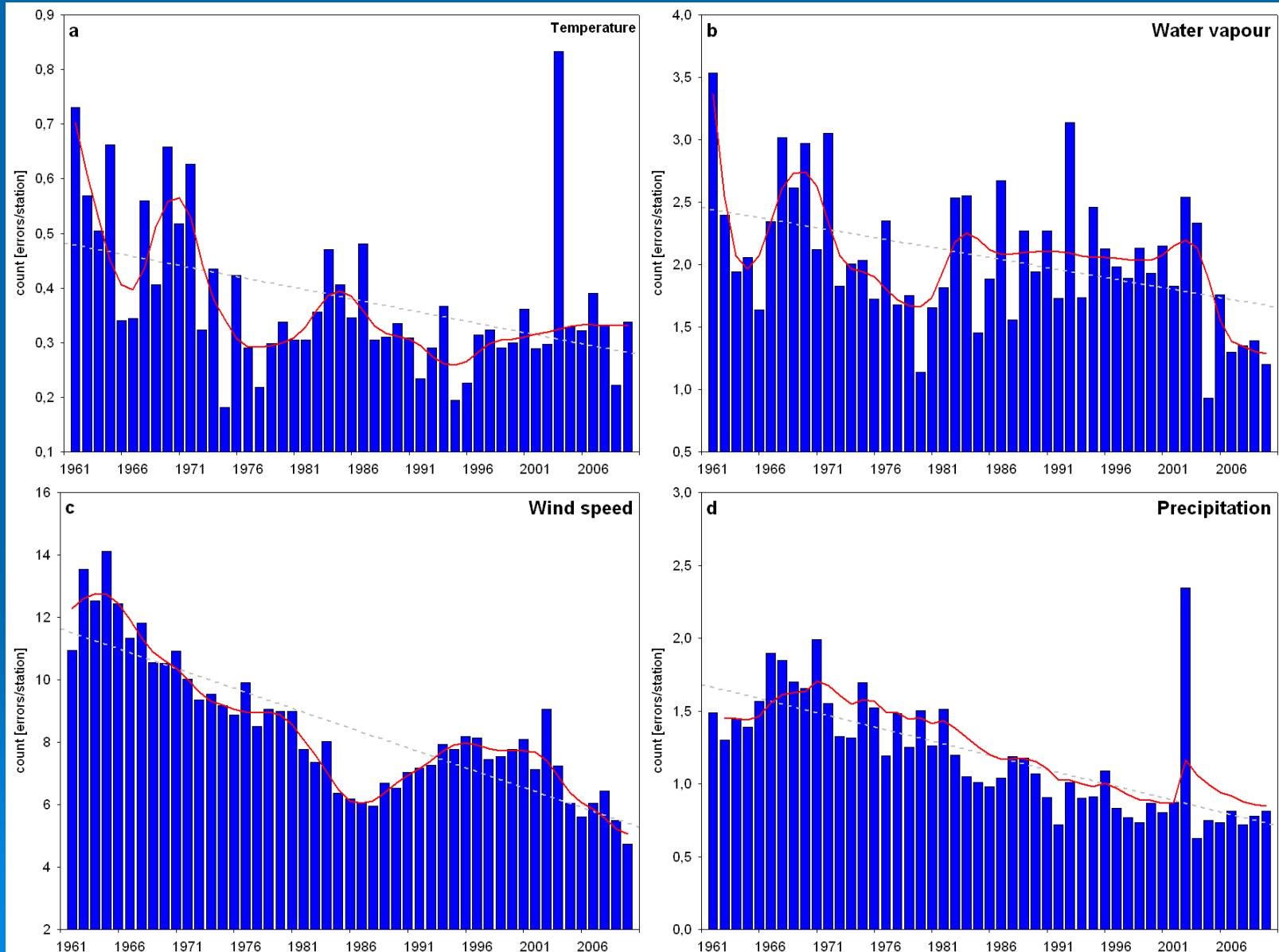


# Roční chod detekovaných potenciálních chyb

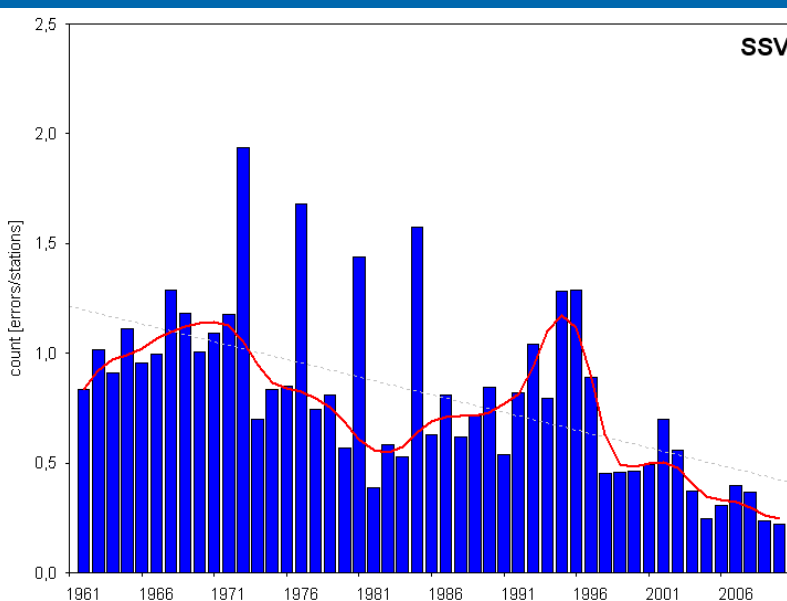
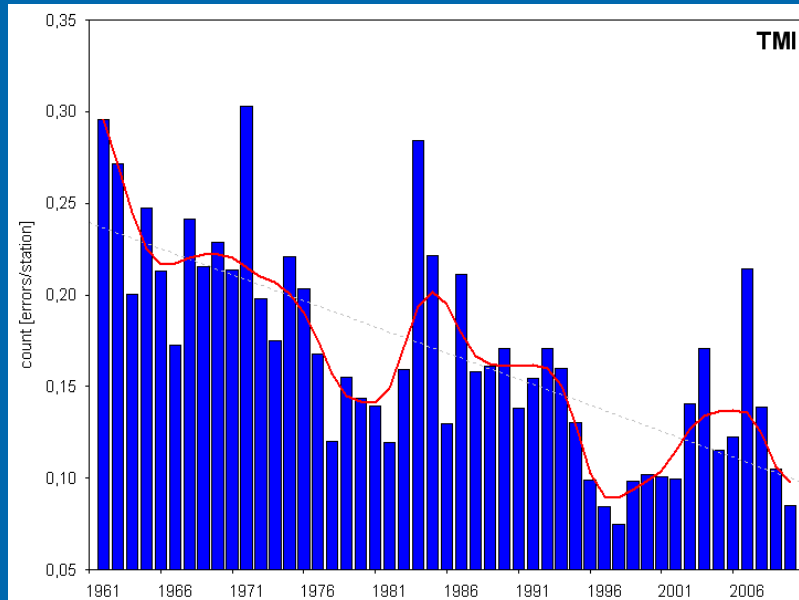
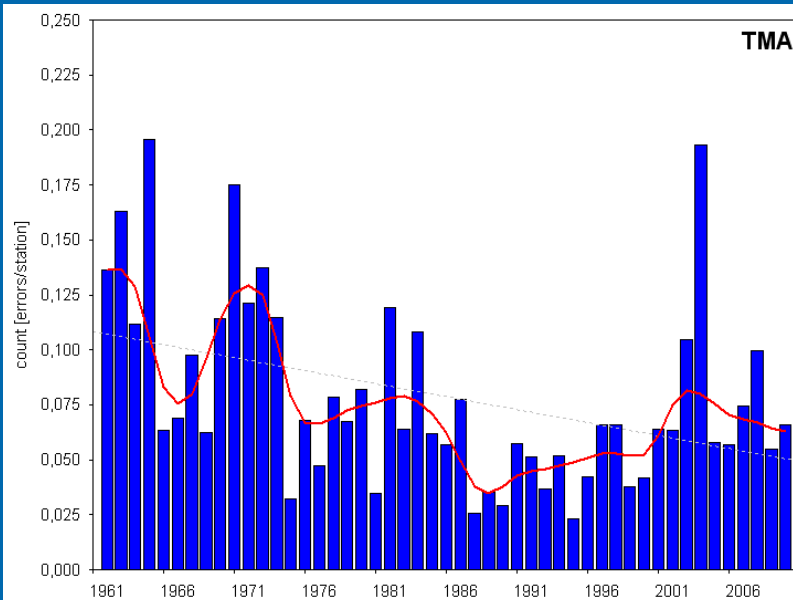
- Většina meteorologických prvků více detekcí v letních měsících než v zimních
- T, TMI: maximum v červenci
- E, F: maximum v srpnu
- SRA: dvě maxima (léto, zima) a dvě minima (jaro, podzim)
- SSV: maximum v lednu a prosinci



# Počet detekovaných potenciálních chyb 1961-2009 – vztaženo k počtu stanic

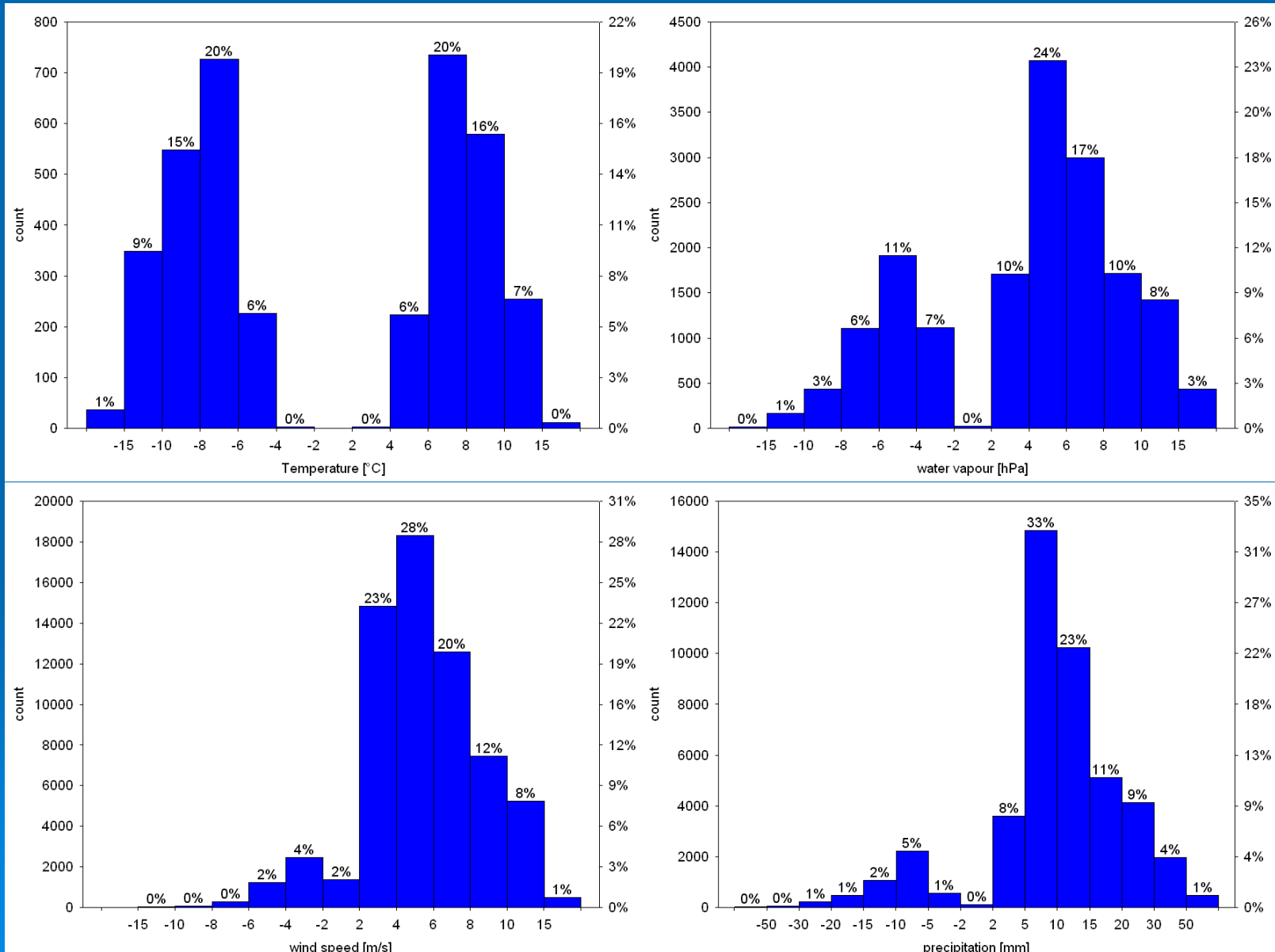


# Počet detekovaných potenciálních chyb 1961-2009 – vztaženo k počtu stanic

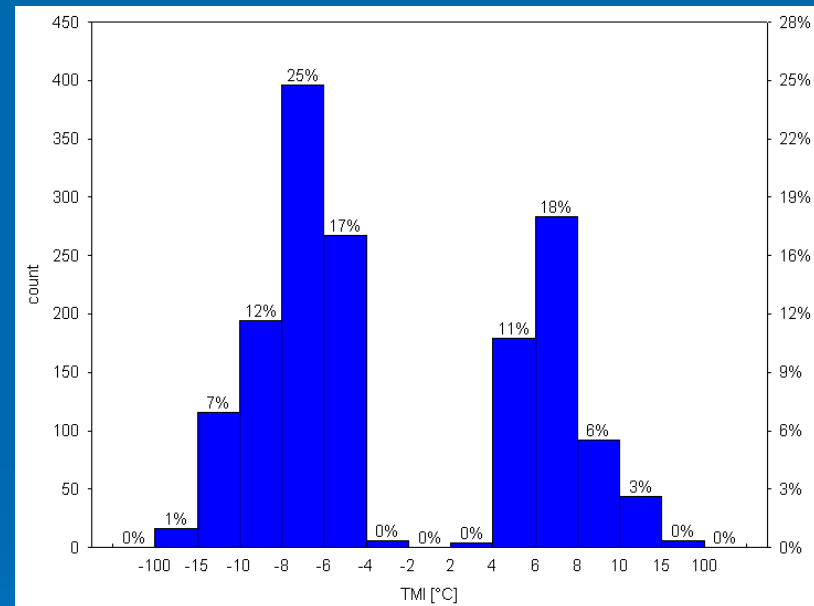
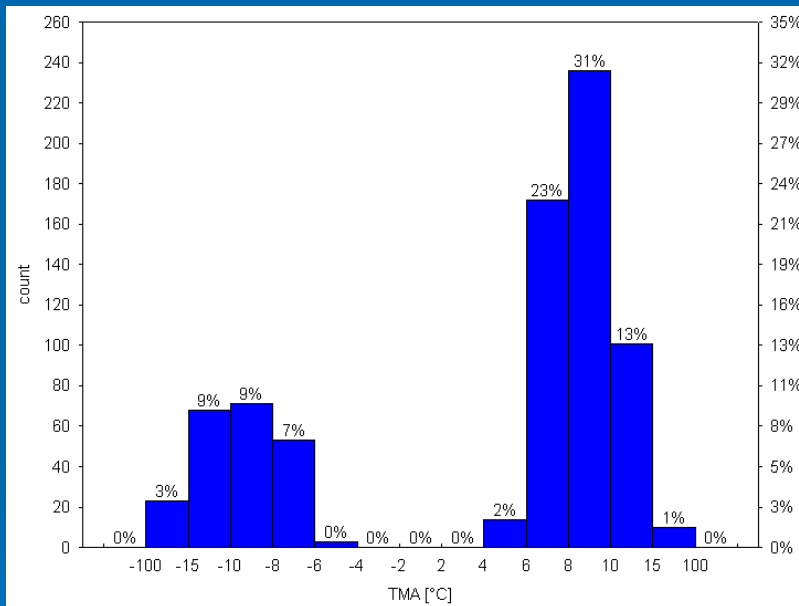


- T, TMA – rok 2003 – výkyv způsobila jen stanice 07RYMA01
- SRA – rok 2002 – výkyv nezpůsobila žádná konkrétní stanice

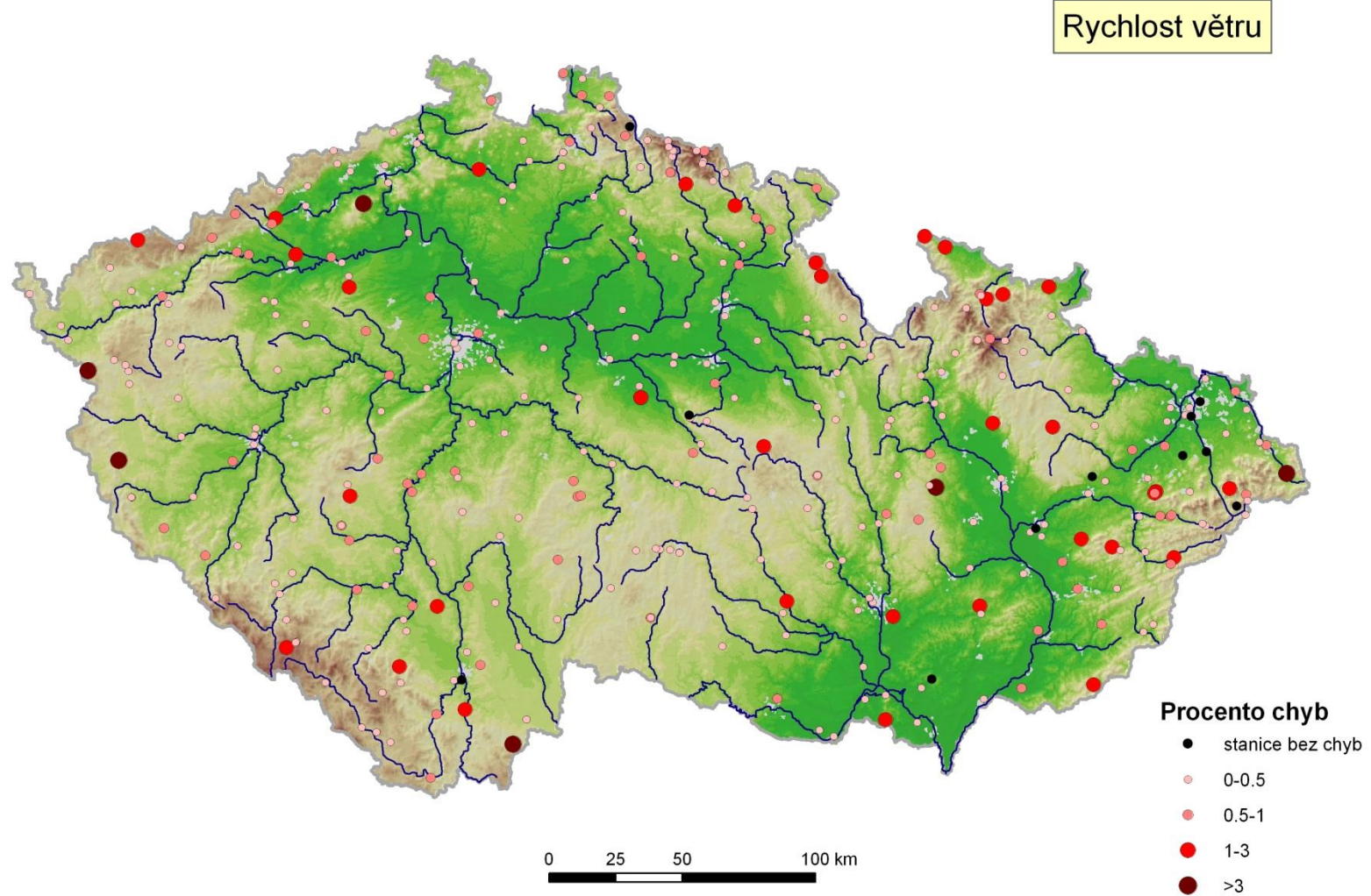
# Rozdíl mezi potenciální detekovanou chybou a vypočtenou hodnotou



# Rozdíl mezi potenciální detekovanou chybou a vypočtenou hodnotou

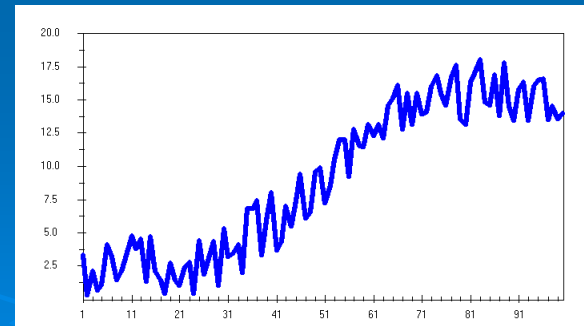
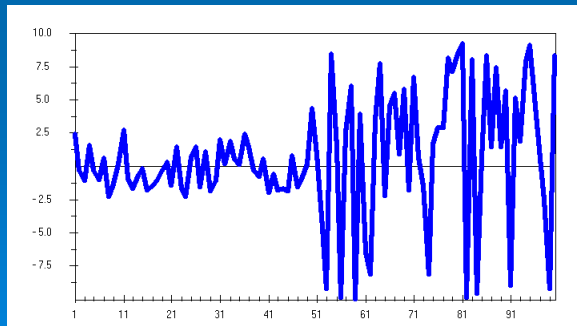
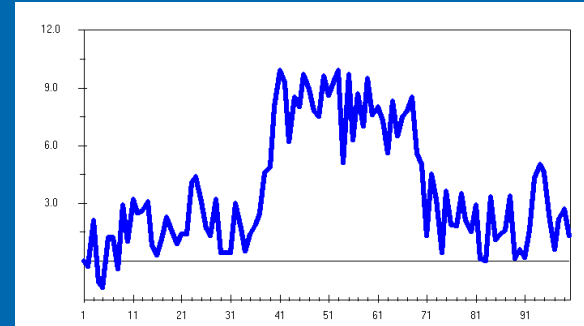
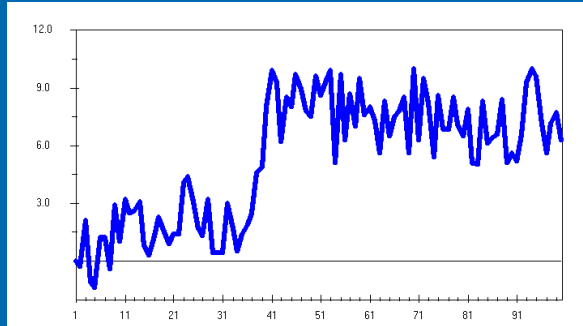


# Prostorové rozložení potenciálních chyb – reprezentativnost stanic



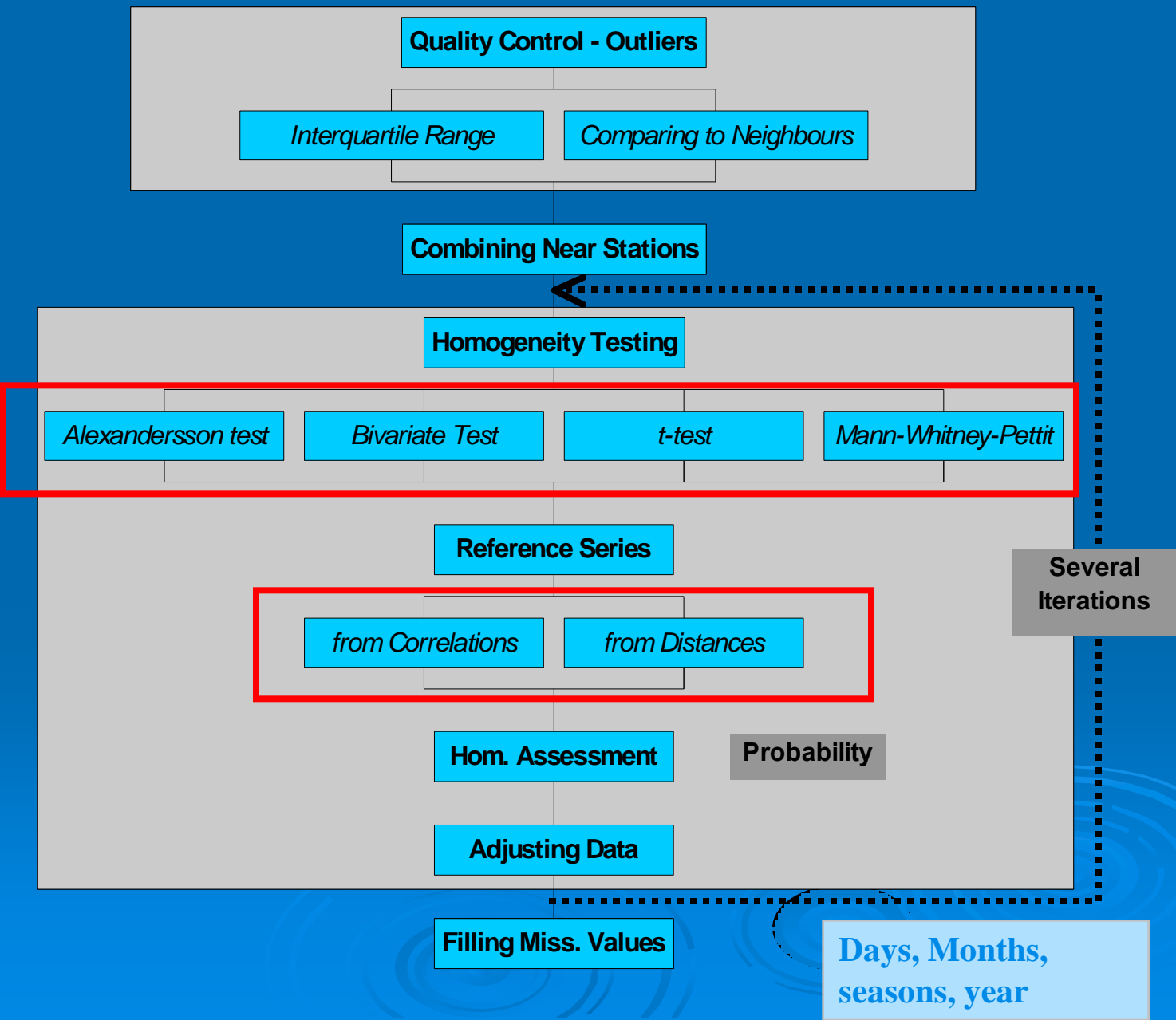
# Homogenizace

- Nehomogenity v průměru, rozdílu a trendu



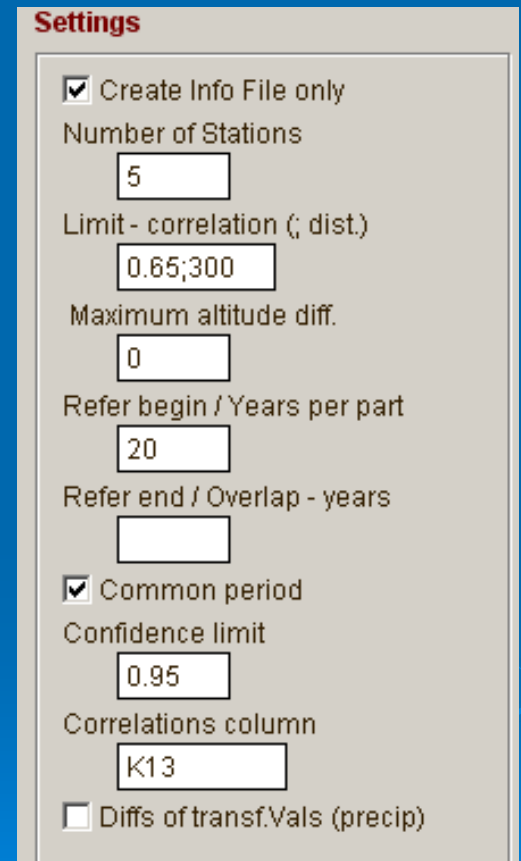
## Data Processing

Monthly, Seasonal and  
Annual Averages



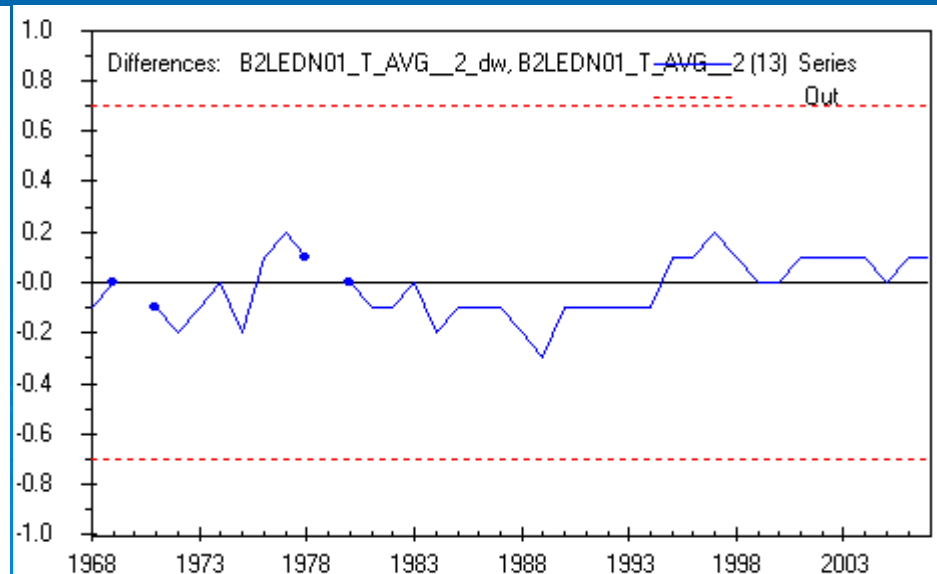
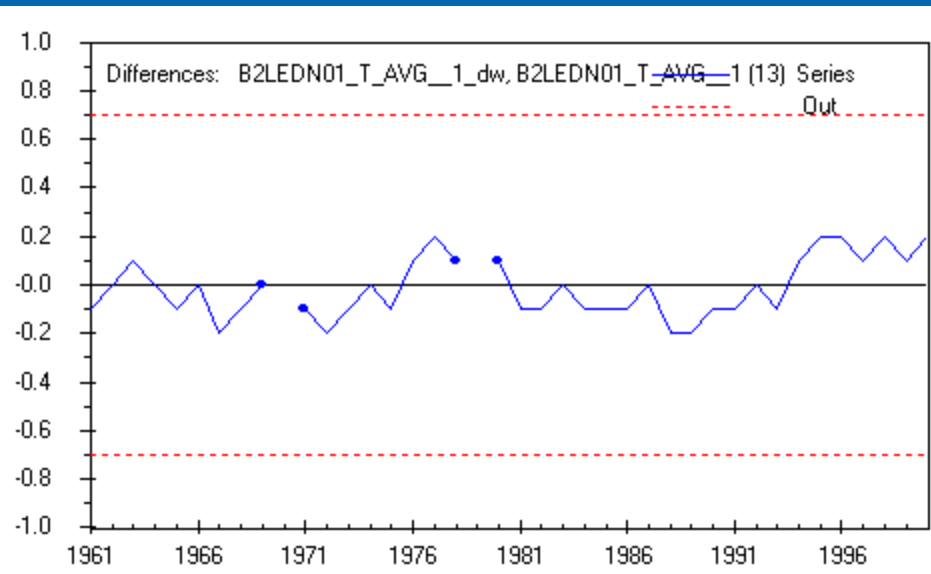
# Referenční řady

- Pro měsíční data
- Kritérium pro volbu stanic:
  - Nejlépe korelující nebo nejbližší stanice (korelace počítány z 1. diferencí)
  - Nastaveny maximální limity pro vzdálenost, korelace a rozdíl nadmořské výšky
- Sousední stanice standardizovány průměr a směrodatnou odchylku testované stanice
- Porovnáno s vypočtenou „očekávanou“ hodnotou – získána metodou IDW (různá síla váhy/vzdálenost podle meteorologického prvku) ze standardizovaných okolních stanic



# Detekce nehomogenit – relativní testy

- Testovaná řada by neměla být delší než 40 let (použité testy pro jeden zlom v řadě)
- Jinak rozděleno na více úseků
- Testuje se s překryvem 10 let
- Při najití zlomu se testují znovu úseky před a po zlomu

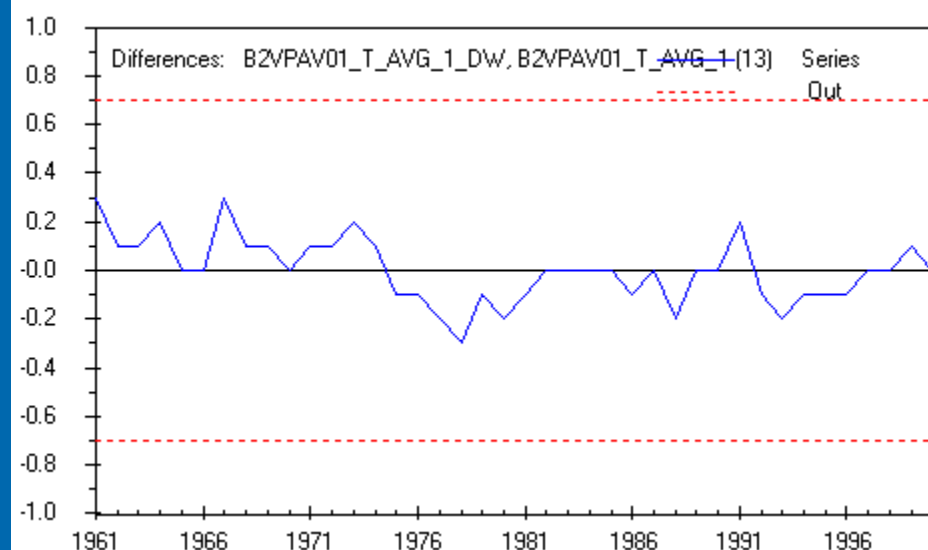
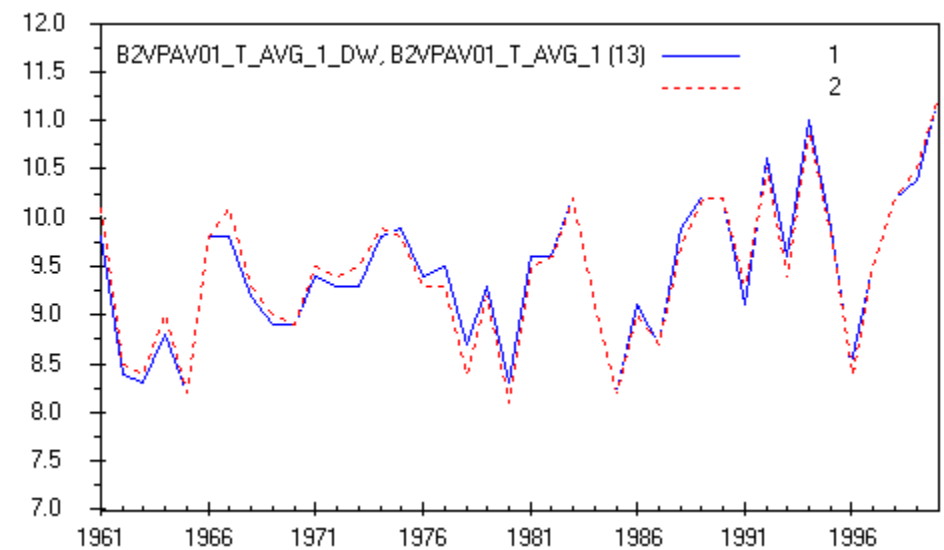


# Detekce nehomogenit – relativní testy

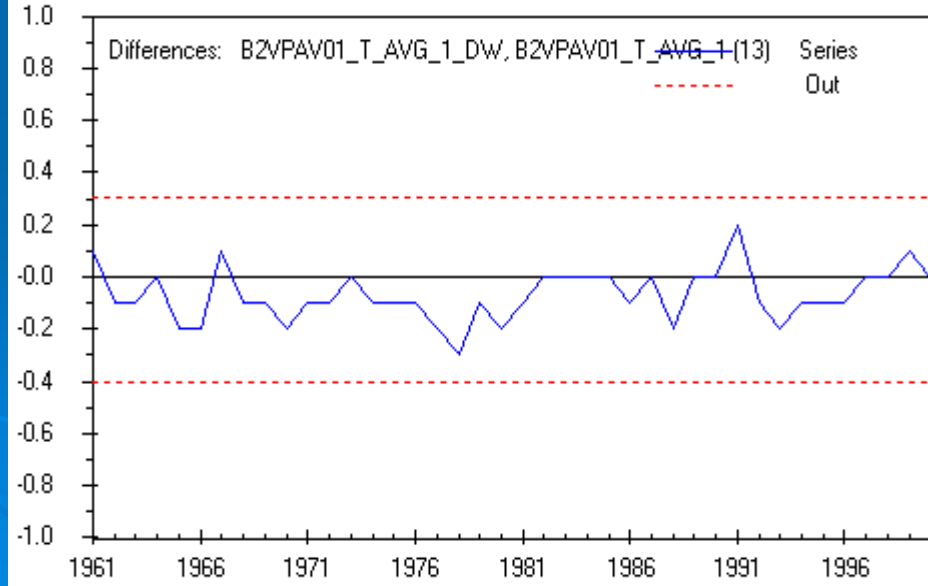
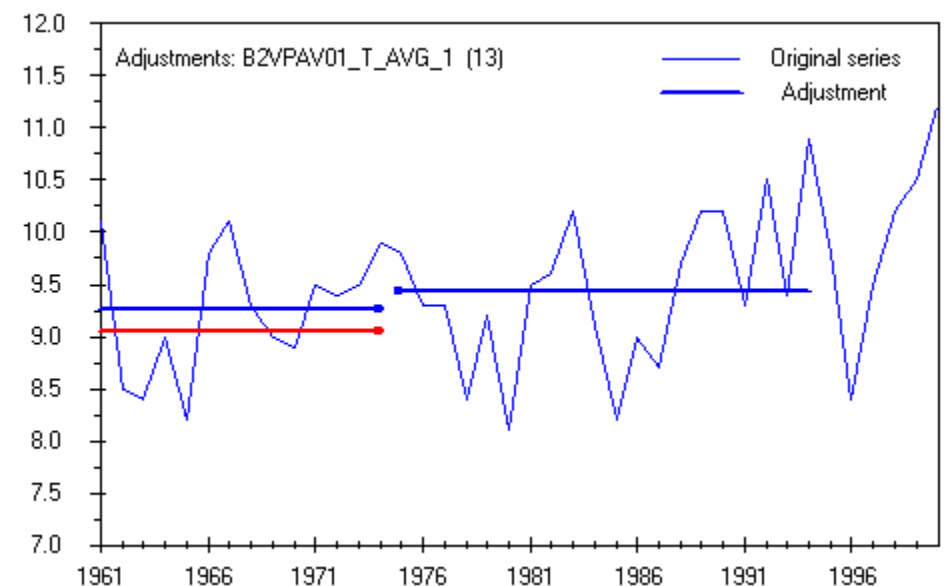
## ➤ Dostupné testy

- **Alexandersson SNHT**
- **Bivariate test of Maronna and Yohai**
- Mann – Whitney – Pettit test
- t-test
- Easterling and Peterson test
- Vincent method
- ...

# Detekce zlomu



# Oprava



# Detekce nehomogenit

- Při homogenizaci je snaha pro každou testovanou řadu získat co největší počet výsledků testování homogeneity (tzv. ensembleový přístup k homogenizaci).

# Detekce nehomogenit

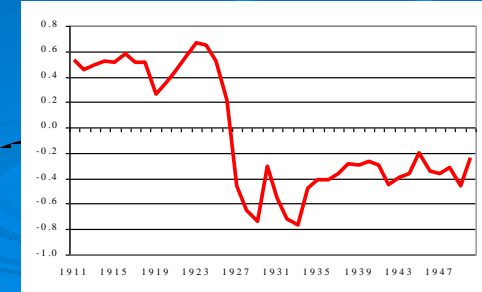
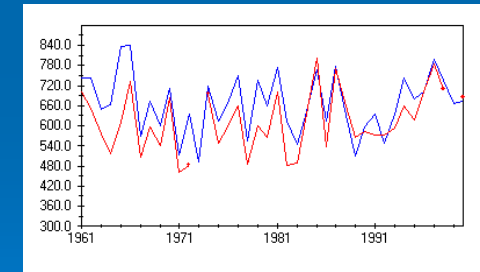
- Výsledky jsou sesumovány
- Vypočítaný podíl výskytu nehomogenit v daném roku na teoreticky možném počtu daného testovaného úseku
- Pro lepší orientaci, stanoveny empiricky limity (15%, 10-15% pokud jsou metadata

Begin	End	Length	InHomogeneity	Number	% detected inhom	% possible inhom	End	Missing
1911	1950	40		140	100	120		
			1927	60	43	51		
			1926	37	26	32		
			1928	9	6	8		4
			1937	7	5	6		
			1922	4	3	3		
			1935	4	3	3		
			1918	3	2	3		
			1930	3	2	3		
			1939	3	2	3		
			1940	3	2	3		2
			1938	2	1	2		
			1913	1	1	1	3	3
			1929	1	1	1		
			1931	1	1	1		
			1936	1	1	1		
			1944	1	1	1		
1926	1927	2		97	69	83		
1926	1931	6		111	79	95		
1935	1940	6		20	14	17		
1911	1920	10		4	3	3		
1921	1930	10		114	81	97		
1931	1940	10		21	15	18		
1941	1950	10		1	1	1		

# Detekce nehomogenit

## ➤ Nutné propojení s metadaty

ID	EL	YEAR	BEGIN	END	YEAR_COUN	Y_POSSIBL	YEAR	MIS	X_BEGIN	X_END	DA	X_X	X_L	L_A	REMAR	C_C
x B1BOJK01	x	1985			41	14.24		12	23.3.1984	31.3.2003	# #				Echange	
B1BOJK01	x	1985			41	14.24		12	23.3.1984	31.12.9999	# #				obs	V/B
B1BYSH01	x	1978			37	12.85										
? B1BYSH01	x	1979			33	11.46										
? B1BYSH01	x	1980			43	14.93										
? B1HLHO01	x	1965			31	10.76	4	1								
B1HOLE01	x	1976			33	11.46										
B1KROM01	x		1977	1978	31	10.76										
x B1RADE01	x	1994			44	15.28		2	1.1.1994	31.12.9999	# #				Echange	
B1RADE01	x	1994			44	15.28		2	1.1.1994	31.12.9999	# #				obs	J/B
x B1RYCH01	x	1973			49	17.01			1.5.1973	28.2.1991	# #				Vchange	
B1RYCH01	x	1973			49	17.01			1.9.1972	28.2.1991	# #				obs	MB
xx? B1STRZ01	x	1987			53	18.40										
B1STRZ01	x	1988			30	10.42										
B1UHBR01	x	1983			31	10.76			18.2.1984	31.1.1999	# #				Uchange	
B1UHBR01	x	1983			31	10.76			18.2.1984	12.5.1993	# #				obs	J/B
x B1UHBR01	x	1984			77	26.74			18.2.1984	31.1.1999	# #				Uchange	
B1UHBR01	x	1984			77	26.74			18.2.1984	12.5.1993	# #				obs	J/B
B1VELI01	x	1978			31	10.76										
? B1VELI01	x		1977	1978	44	15.28										
? B1VKLO01	x	1984			29	10.07										
x B1VYSK01	x	1999			32	11.11	-1		1.4.1998	31.12.9999	# #				Vchange	
B1VYSK01	x	1999			32	11.11	-1		1.4.1998	31.12.9999	# #				obs	V/B
B2BOSK01	x	1968			33	11.46										
B2BREC01	x	1968			35	12.15										
B2BRUM01	x	1989			51	17.71			1.2.1989	31.3.1994	# #				Echange	
B2BRUM01	x	1989			51	17.71			1.2.1989	31.3.1994	# #				obs	MB



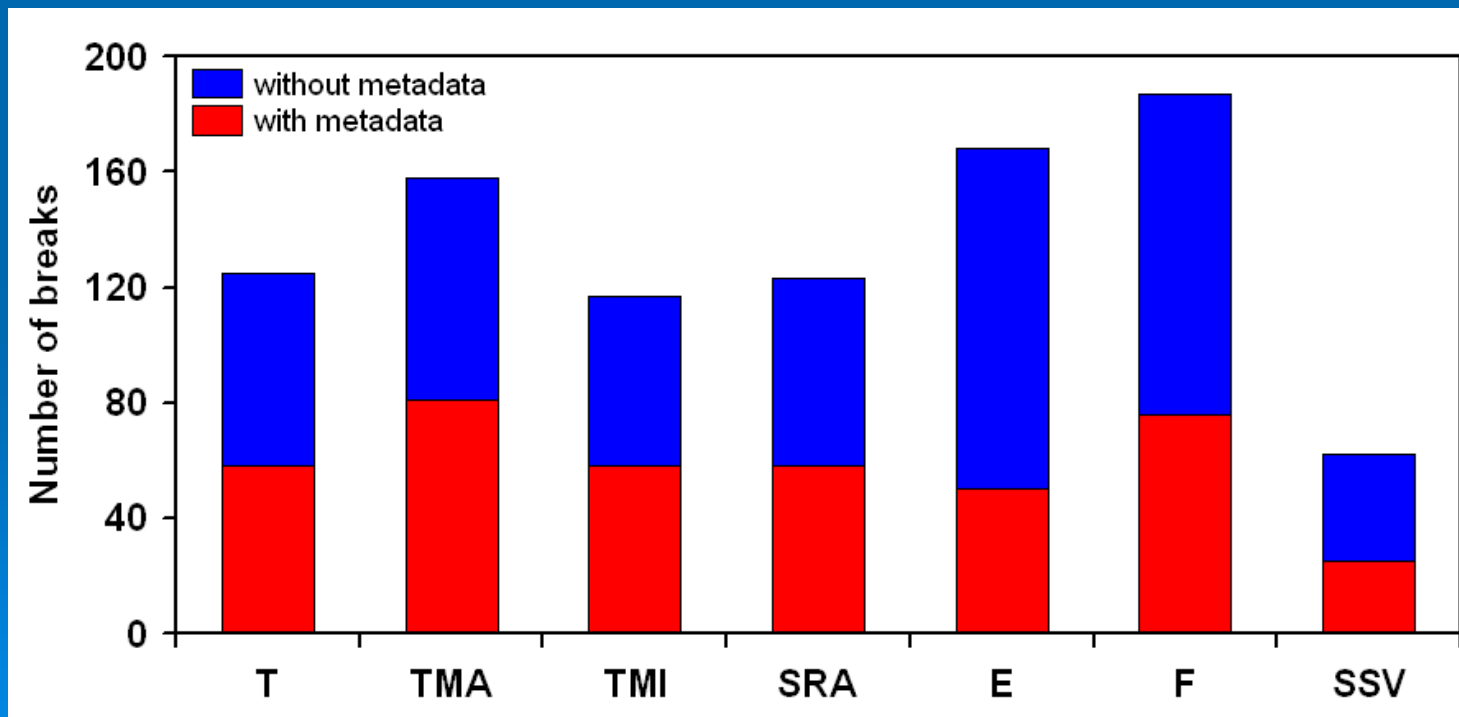
# Detekce nehomogenit - výsledky

- Testováno 1750 řad 7 klimatologických prvků
- Více než 42% z nich je nehomogenních (například rychlosť větru až 75 %)
- Časové řady obsahují i více než jeden zlom (75% - 1 zlom, 22% - 2 zlomy, 3% - 3 zlomy)

Element	Nb. series	Nb. series with break	Ratio (%)	Nb. Breaks in series			
				0	1	2	3
Temperature	181	100	55.2	81	77	21	2
Max Temp	178	122	68.5	56	88	32	2
Min Temp	179	92	51.4	87	68	23	1
Precipitation	761	117	15.4	644	110	7	0
Water vapour	173	123	71.1	50	83	34	6
Wind speed	176	132	75.0	44	85	39	8
Sunshine	102	55	53.9	47	49	5	1
Total	1750	741	42.3	1009	560	161	20

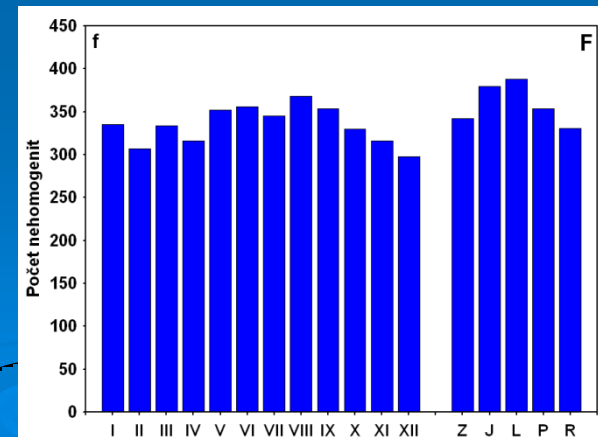
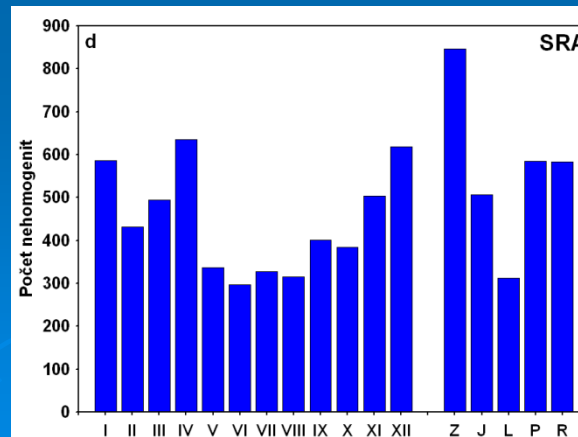
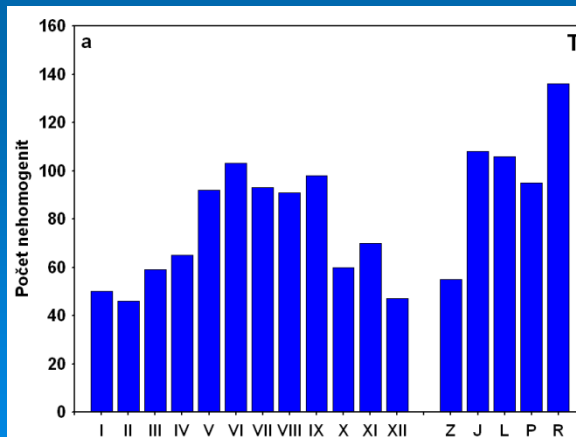
# Homogenizace - metadata

- 44 % zlomů bylo vysvětleno pomocí metadat
- Nejvíce zlomů je vysvětlitelných pomocí metadat u maximální teploty vzduchu, naopak jen 30 % zlomů bylo objasněno u tlaku vodní páry.



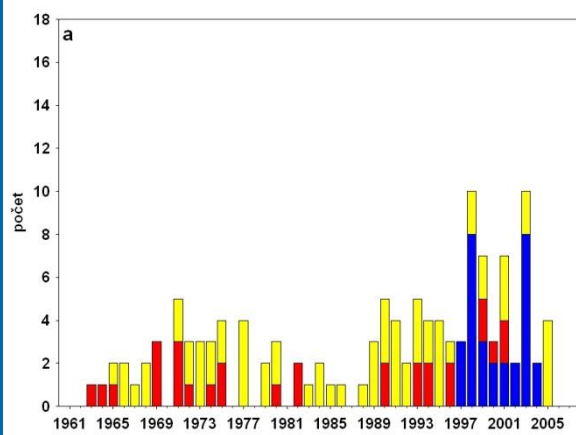
# Roční chod nehomogenit

- U statisticky významných nehomogenit lze pozorovat typický roční chod
- Většinou je více nehomogenit v teplé části roku
- Naopak srážky v zimě
- Nejvíce nehomogenit detekovány v ročních a sezonních hodnotách
- Tlak vodní páry a rychlosť větru – roční chod není pozorován

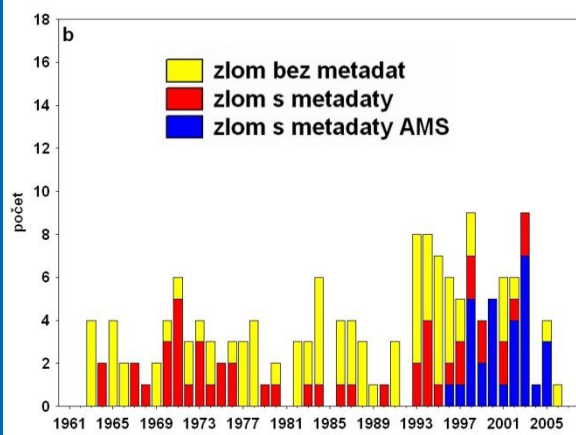


# Meziroční kolísání nehomogenit

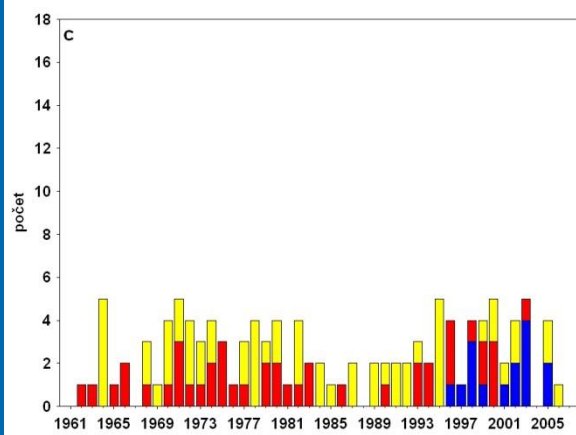
T



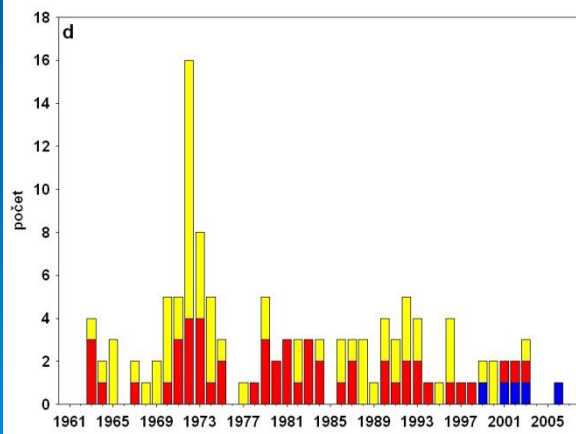
TMA



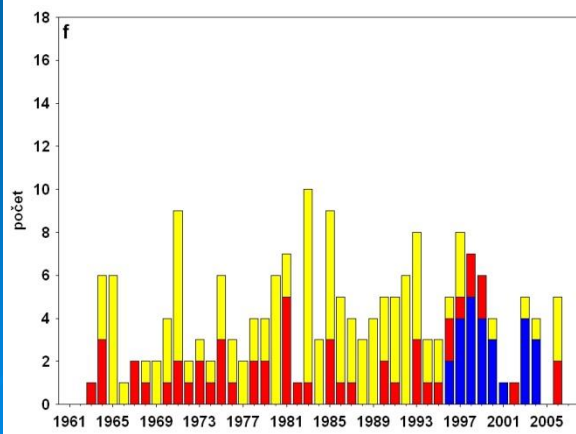
TMI



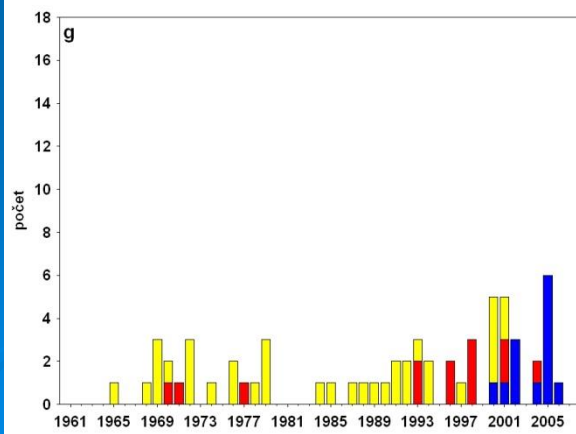
SRA



F

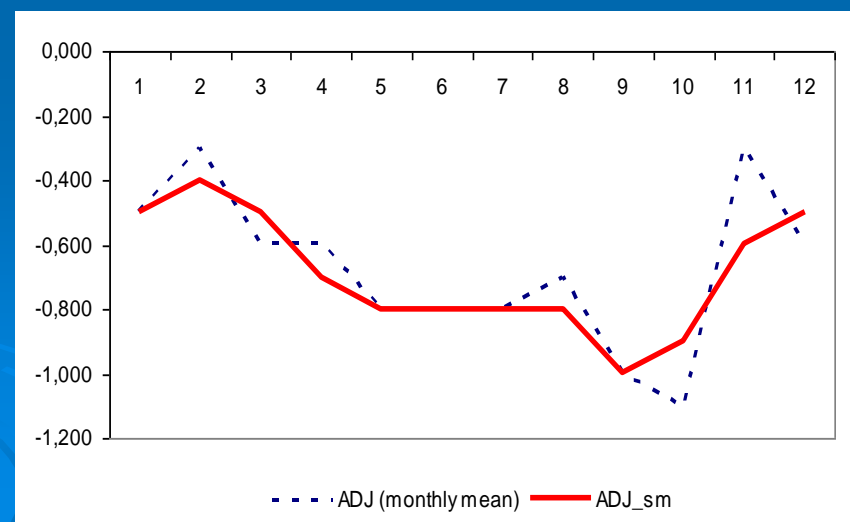
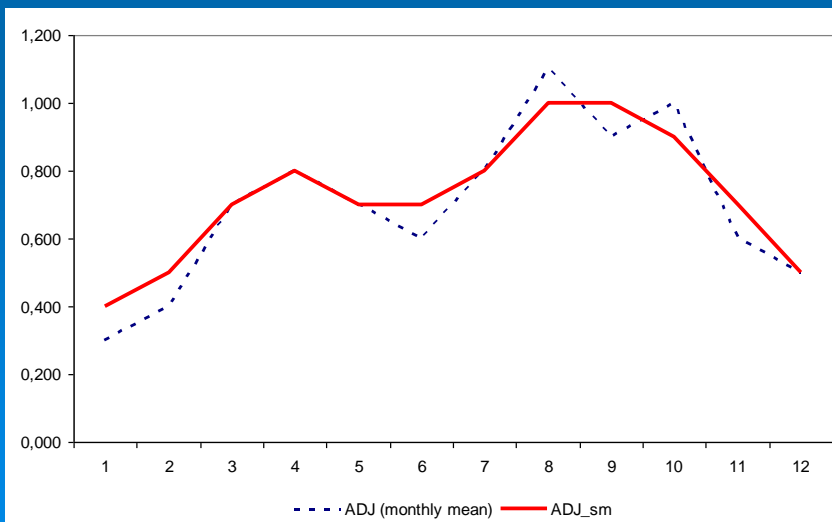
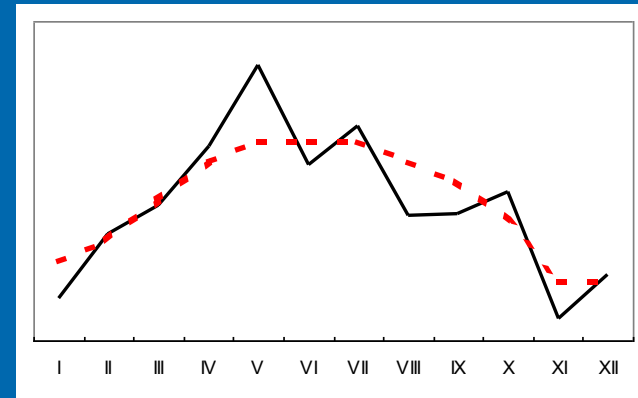


SSV



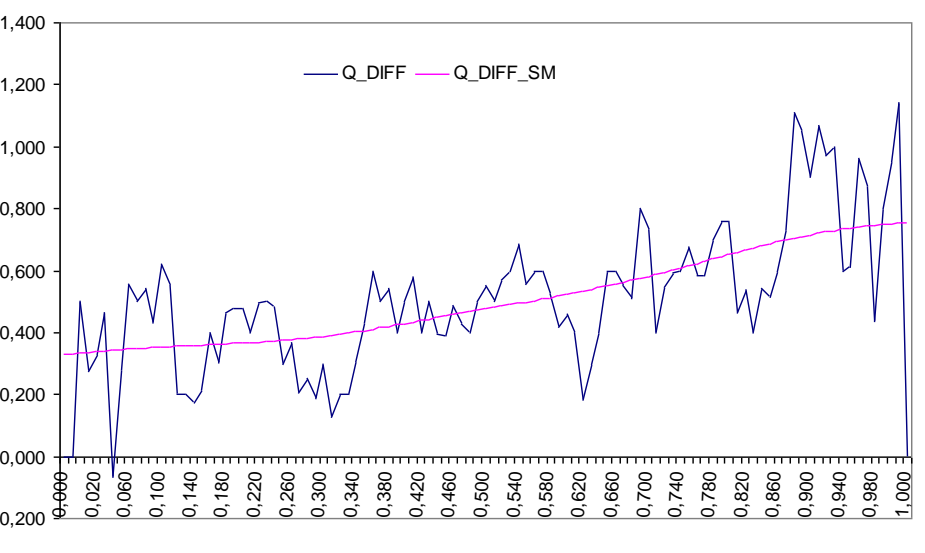
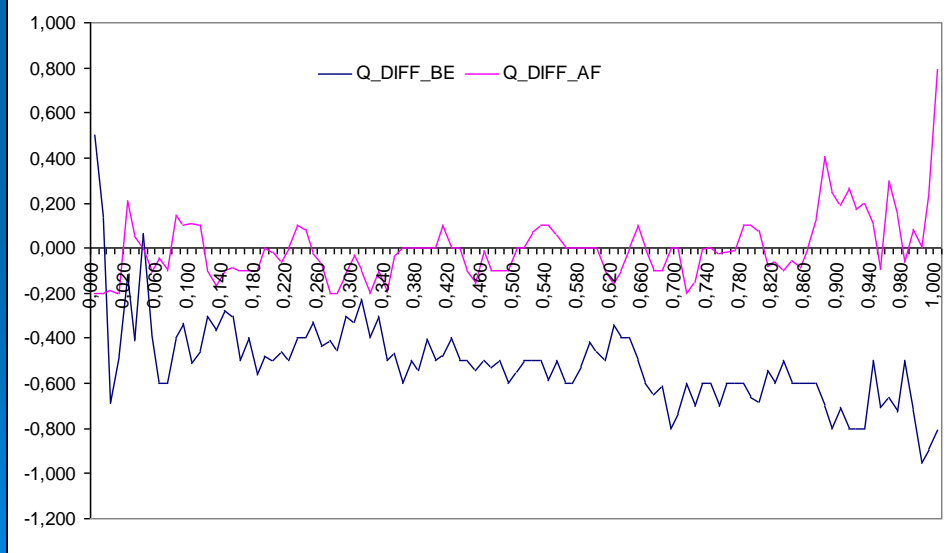
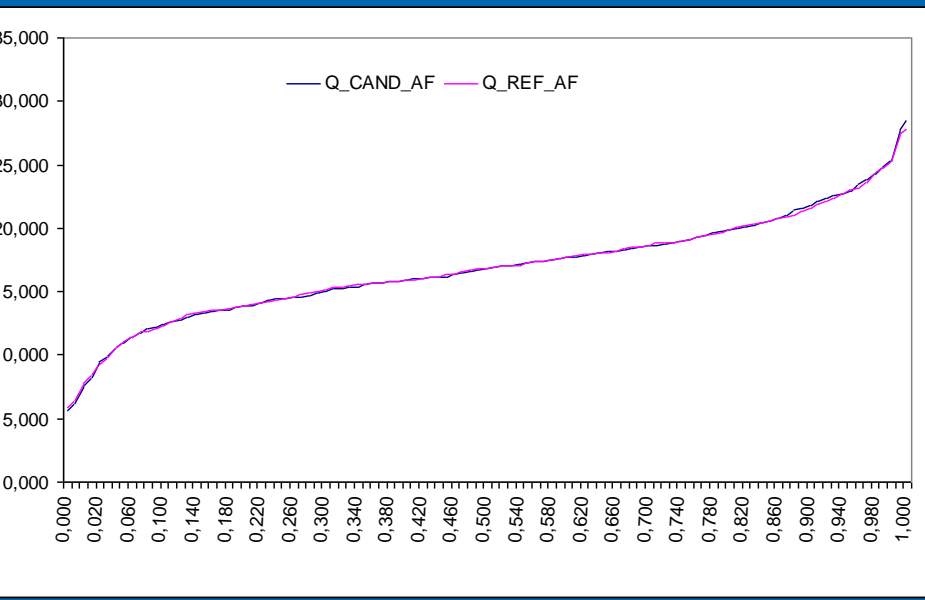
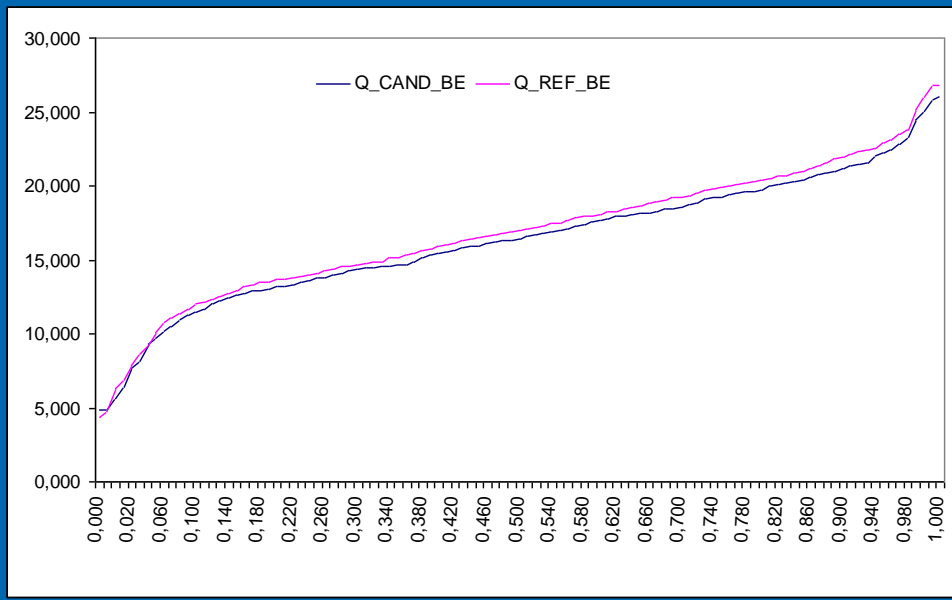
# Oprava nehomogenit pro měsíční data

- Použití referenční řady vypočtené na základě korelací
- Velikost opravy: 20 hodnot před a po zlomu daného měsíce
- Aby se opravovalo je nutné aby byl zlom minimálně 4 roky před koncem nebo po počátku
- K opravě se používají shlazené hodnoty například 5-letým Gauss nízkofrekvenčním filtrem – fyzikálně zdůvodnitelné (hladký roční chod)

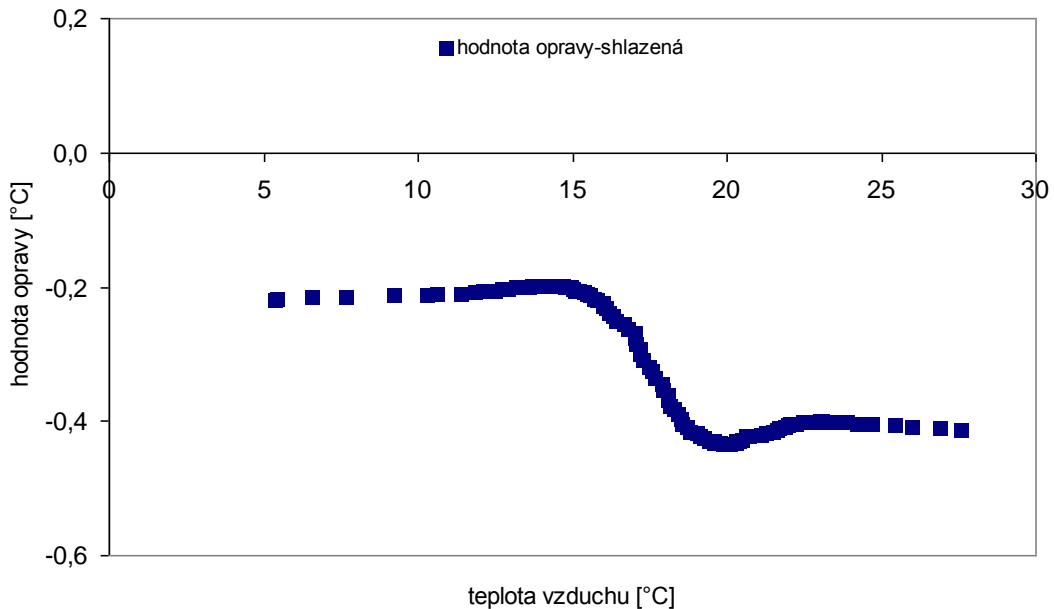


# Oprava nehomogenit pro denní data

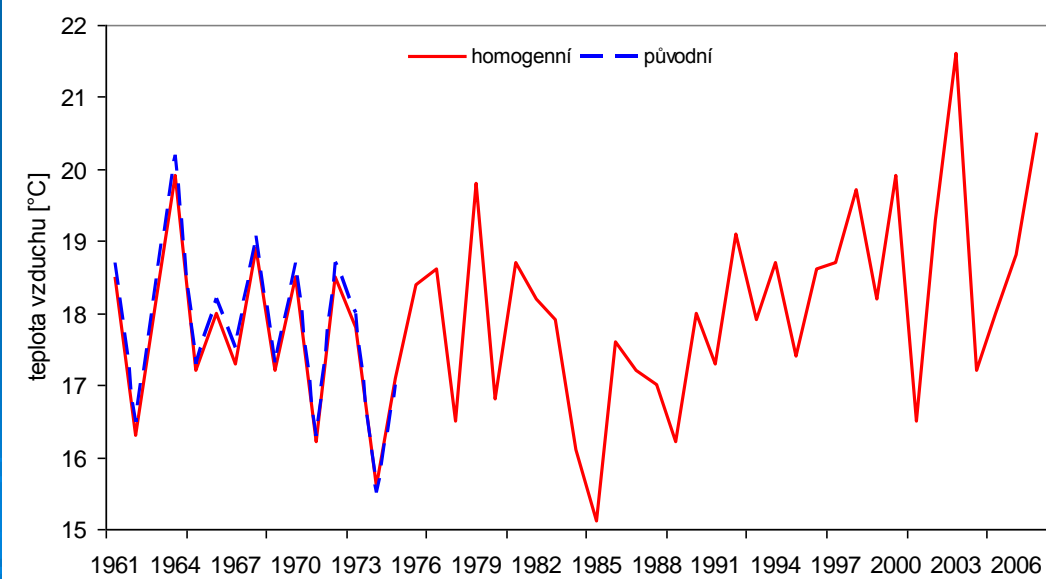
- Oprava na denních datech
- Vlastní přístup - vychází z principu metod Deque, Trewin a Trewitt, Della-Marta = tzv. „variable“ correction metoda
- Naše DAP (Distribution Adjusting by Percentiles) metoda: porovnání rozdílů percentilů mezi testovanou a referenční řadou
- Každý měsíc je zpracováván individuálně, ale také se bere do počtu hodnot sousedním měsíců před a po, aby byl zajištěn hladší průběh z jednoho měsíce do dalšího
- Diference mezi testovanou a referenční řadou pro individuální percentily, jsou dále rozděleny před a po zlom a shlazeny nízkofrekvenčním filtrem a tím je získán finální základ úpravy pro dané percentily



## Hodnota opravy pro stanice Velké Pavlovice



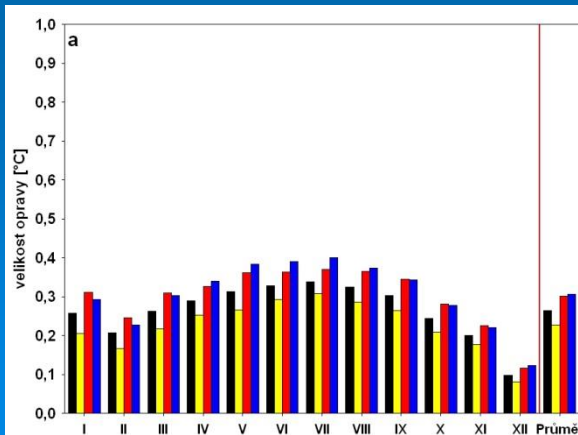
Porovnání teploty vzduchu  
před a po zlomu



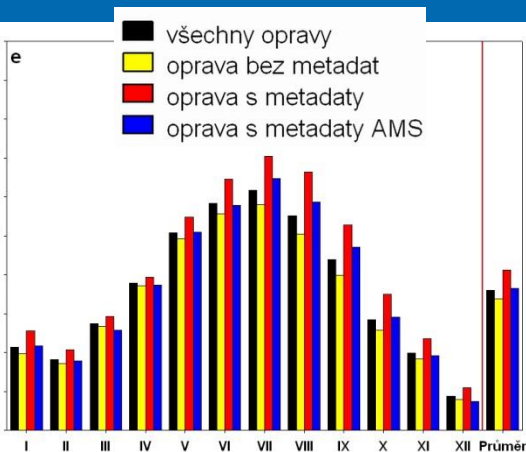
# Velikost opravy – roční chod

- Teplotní charakteristiky mají typický roční chod – větší opravy v letních měsících
- $T$  v průměru o  $0,26^{\circ}\text{C}$ , TMI =  $0,43^{\circ}\text{C}$
- Větší opravy u nehomogenit potvrzených v metadatech – o  $0,1^{\circ}\text{C}$
- $E$  o  $0,7 \text{ hPa}$ ,  $F$  o  $0,55 \text{ m/s}$  (leden například o  $0,88 \text{ m/s}$ ).

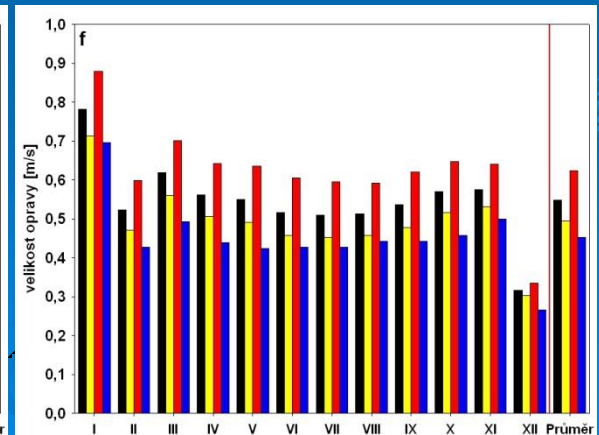
T



E

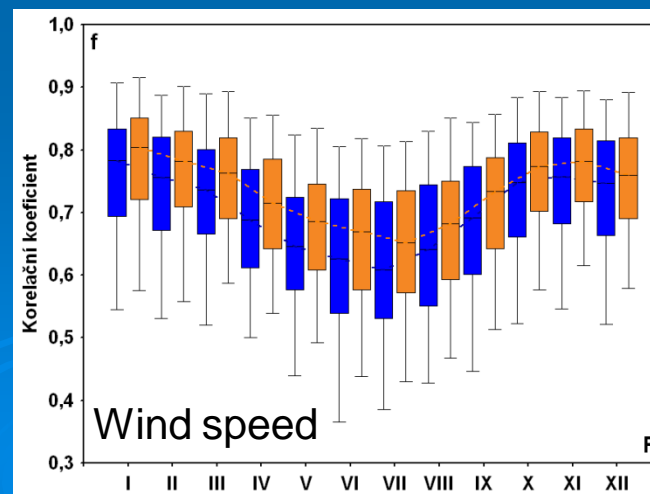
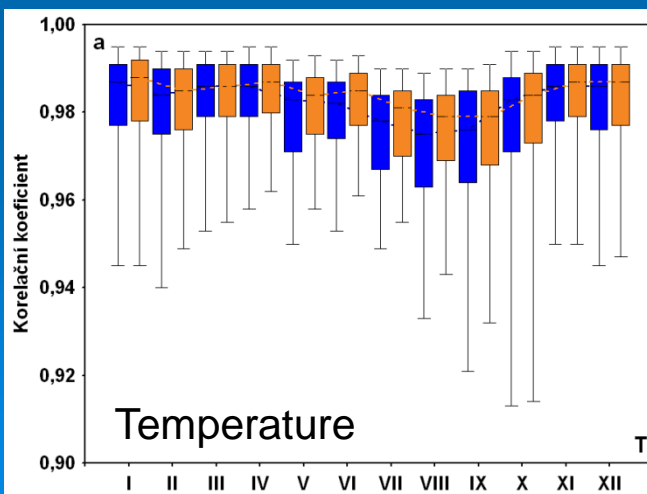


F



# Korelace

- Po opravě časové řady je podstatné aby došlo k nárůstu korelačního koeficientu mezi testovanou a referenční řadou
- Pokud tomu tak není, řada není opravovaná
- Po korekci nejvíce vzrostly korelační koeficienty v případě teploty vzduchu v letních měsících a u srážek v zimních měsících.
- Největší nárůst korelačních koeficientů byl zaznamenán u rychlosti větru ( $0,690 \rightarrow 0,720$ )



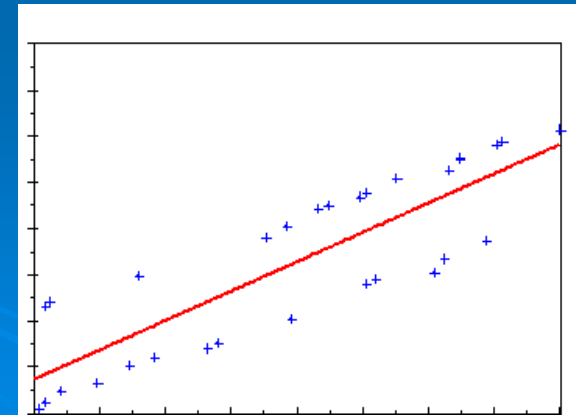
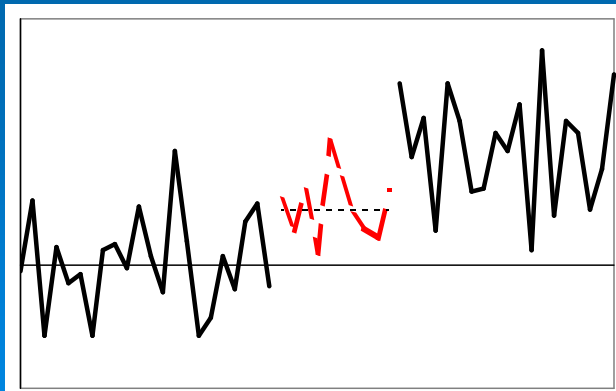
before correction  
after correction

# Iterační proces

- Nutné všechny tyto kroky (detekce, oprava) opakovat v několika kolech, jelikož získáváme stále kvalitnější výsledky, jelikož i referenční řady se počítají už z částečně zhomogenizovaných řad
- Počet detekovaných nehomogenit v datasetu postupně klesá
- Pro ČR kolem 3-4 kol, pro Rakousko až 6 kol

# Doplnění chybějících hodnot

- Doplnění teprve až po homogenizaci
- Před homogenizací: zatíženy chybou jelikož se počítají z nehomogenních řad
- Před homogenizací: znesnadňovali by správnou detekci nehomogenit, hlavně v případě pokud by chybělo více roků za sebou
- Doplnění měsíčních dat: metodou lineární regrese mezi doplňovanou a referenční řadou
- Doplnění denních dat: postup použitý u kontroly kvality dat a vypočtu očekávané hodnoty



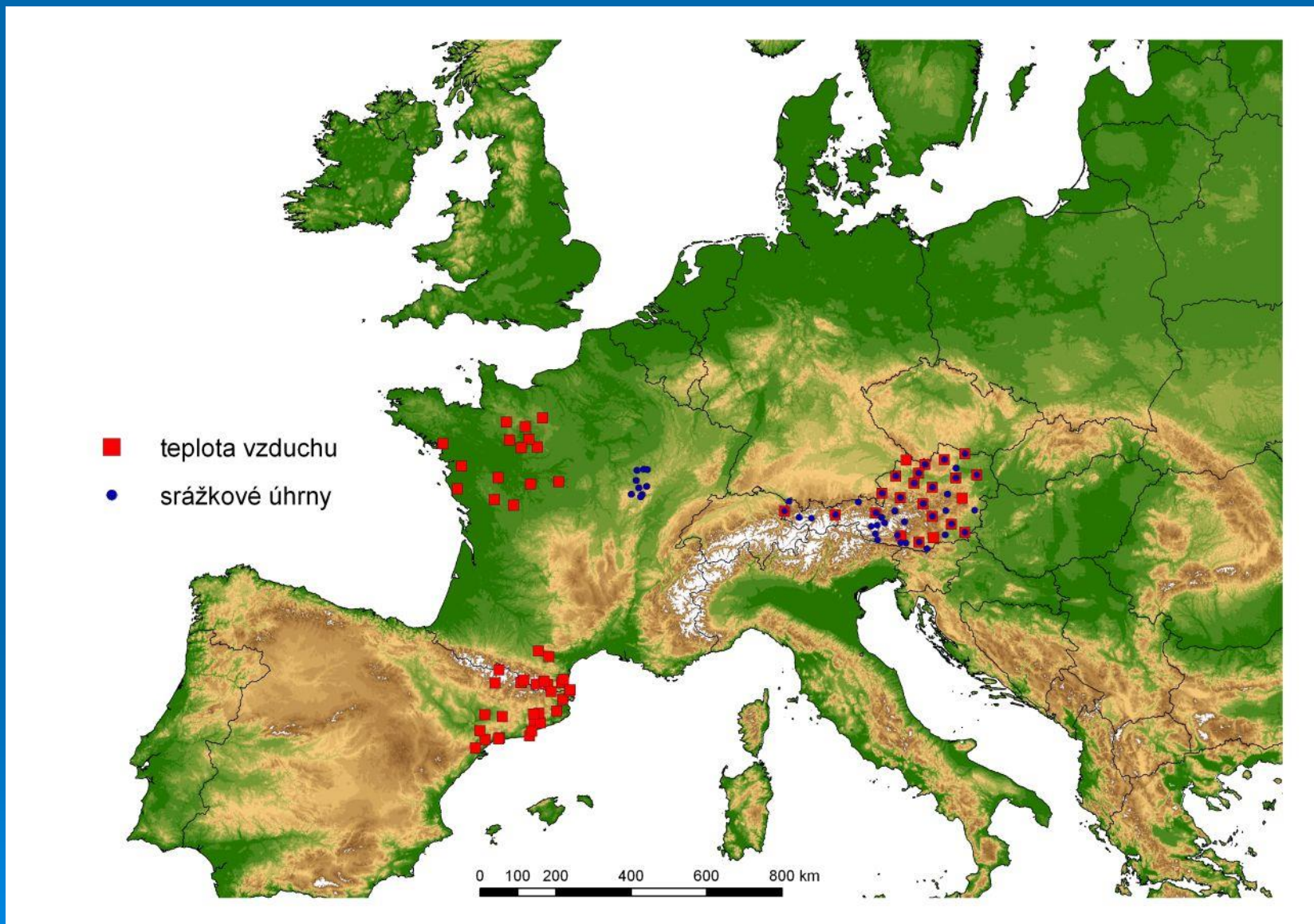
# COST ES061

- Evropský projekt, který podporuje mobilitu a spolupráci ve vědecké činnosti (setkání, krátkodobé vědecké stáže atd.)
- COST ES061 je zaměřen na homogenizaci
- V projektu je 26 zemí
- 2007-2011
- Cíle:
  - vytvořit kompletní seznam literatury,
  - vytvoření testovací databáze a její použití pro testování různých metod homogenizace používané na celém světě (to proběhlo v roce 2010, stejně jako vyhodnocení),
  - testování různých metod korekce oprav denních dat (rok 2011)

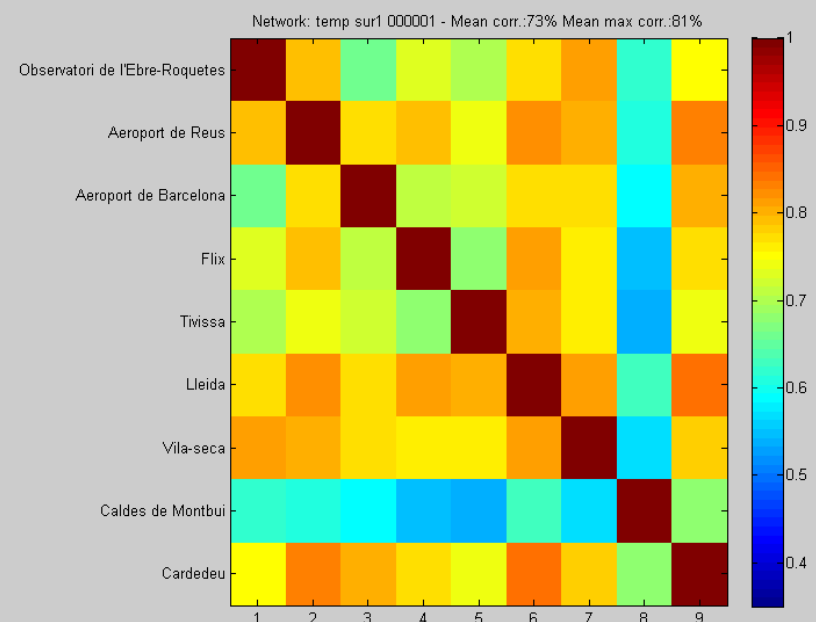
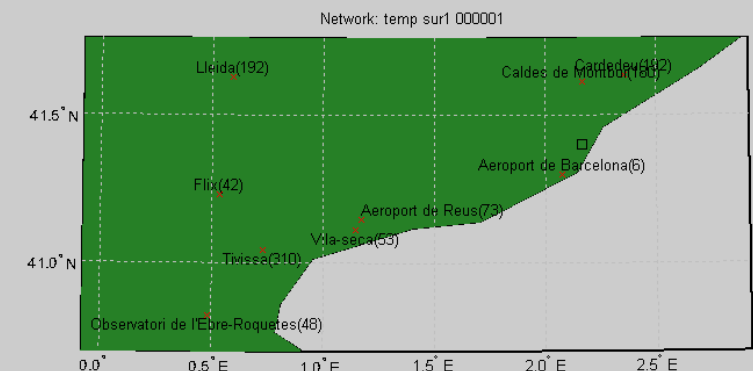
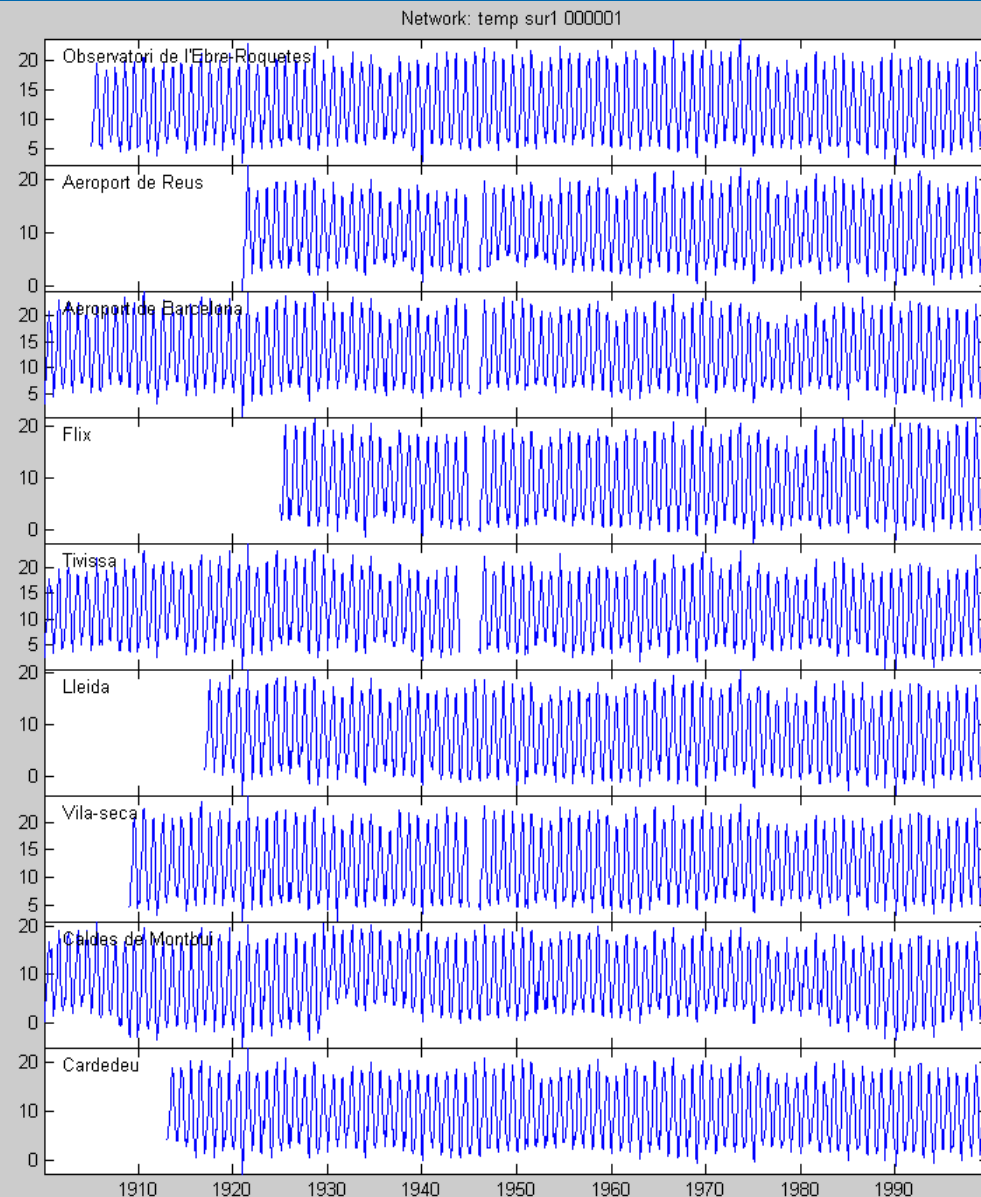
# Cost benchmark dataset

- Databáze vytvořena Victorem Venemou (univerzita Bonn), komplexně podchycuje všechny typy nehomogenit a jejich velikost a umístění v řadě.
- Pro teplotu vzduchu a srážkové úhrny (měsíční data)
- 3 skupiny dat
  - Reálná: bez znalosti všech metadat a nehomogenit
  - Syntetický: umělá, pro „běžné“ učely nepoužíváno
  - Náhradní (surrogate): na základě reálných dat byly vymodelovány nové řady se statistickými vlastnostmi těch reálných a do nich byli implementovány chyby a nehomogenity. Na základě této řady bylo prováděno hodnocení jednotlivých metod

# Cost benchmark dataset-stanice



# Cost benchmark dataset-data

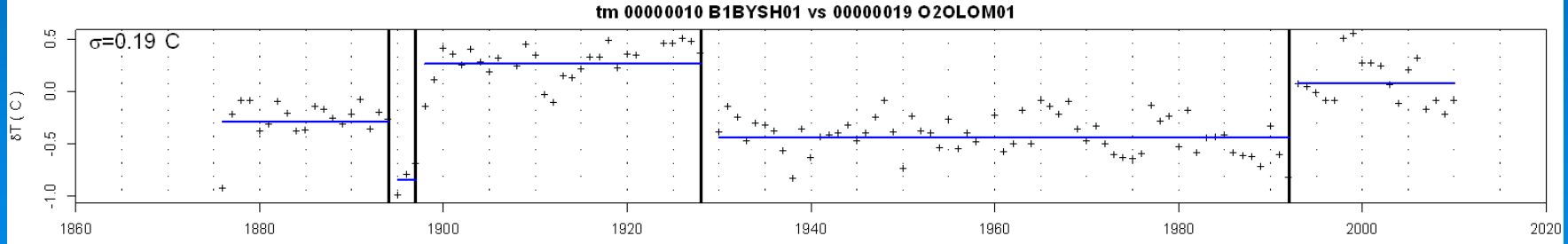
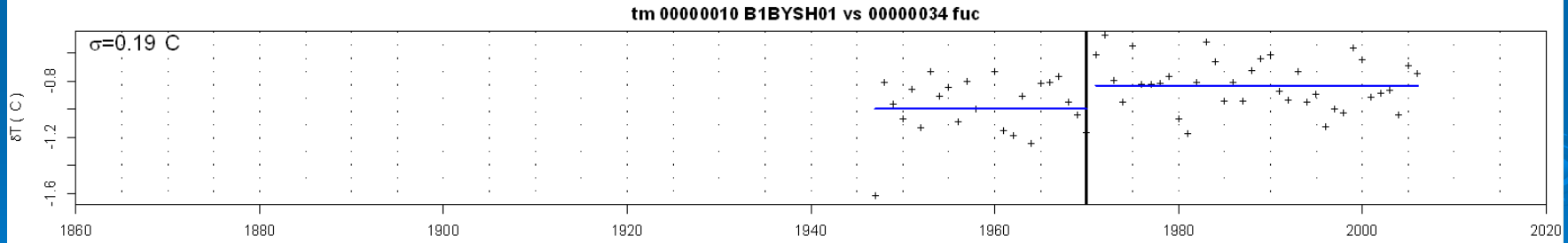
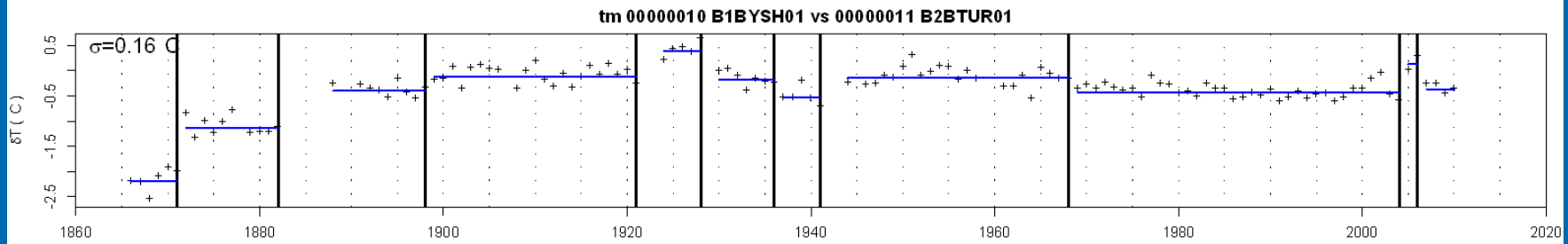
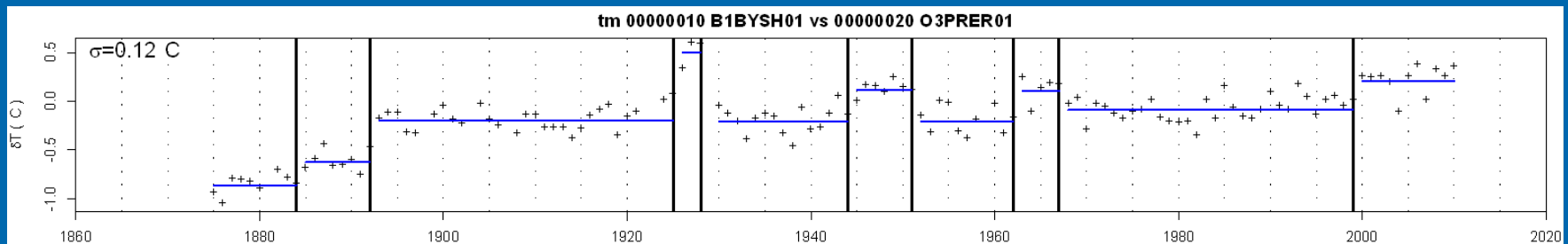
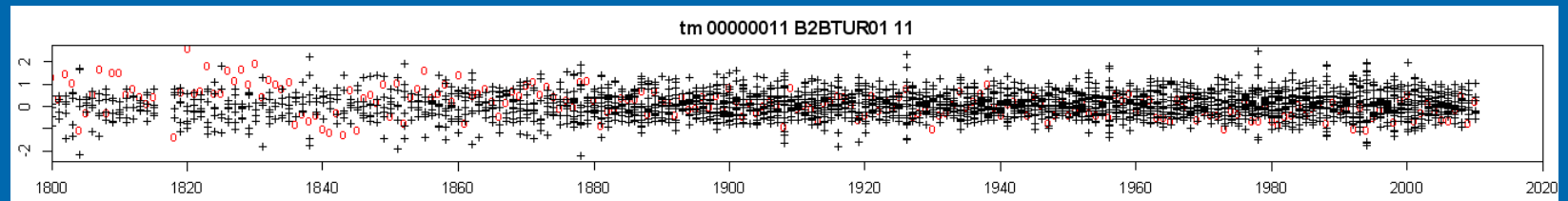


# COST ES061-dosavadní závěry

- absolutní metody homogenizace) nejenom že nezlepšují původní nehomogenní databázi, ale naopak ji ještě zhoršují, jinými slovy, absolutní homogenizace nejenom že nevede k homogenním údajům, ale naopak data ještě pokazí
- pomocí této testovací databáze (po odhalení pravdy) byly občas nalezeny „programovací“ chyby v použitych metodách
- lepších výsledků dosahovali samotní tvůrci metod (v porovnání s běžnými uživateli)
- mnoho manuálních metod je horších než ty nejlepší automatické
- automatické algoritmy mohou dosáhnout velmi dobrých výsledků
- pro správné vyhodnocení metod je potřeba mít několik sítí testovací databáze (tzn. benchmark dataset)

# HOME.R

- Software vznikl jako výstup z projektu COST
- Vychází hlavně z metody Prodige – Olivier Mestre (MeteoFrance)
- Založena na „pair-wise“ porovnání se sousedními stanicemi
- Zůstává-li detekovaný zlom konstantní (tedy ten samý) v množině případů porovnávajících testovanou řadu s jejími sousedy, může být připsán testované řadě. Toto přiřazení vyžaduje vstup uživatele, který prochází vytvořené grafy s naznačenými zlomy a subjektivně se rozhoduje, které zlomy se shodují a měly by se opravit.
- Oprava je poté provedena na všech řadách pomocí dvoufaktorového modelu ANOVA (Caussinus, Mestre, 2004), kdy každá řada pozorování je modelována jako součet složek regionálního klimatického signálu, signálu samotné stanice a složky náhodného bílého šumu.



## ACTION COST-ES0601: Advances in homogenisation methods of climate series: integrated approach (HOME)



### ◎ Menu.

- [Home](#)
- [Members](#)
- [Forum](#)
- [News](#)
- [Documents](#)
- [Intranet](#)
- [Working Groups](#)
  - [WG 1](#)
  - [WG 2](#)
  - [WG 3](#)
  - [WG 4](#)
  - [WG 5](#)
- [Links](#)
- [Contact](#)
- [How To...?](#)



Please, download the [Monthly Benchmark Dataset](#).  
Please, check our [literature review on homogenisation](#).

#### Scientific Report Paris EM IHP, Reports



Picture from the STSM Paris EM IHP (29-30th July 2010).

#### Scientific Report Paris EM (AgroParisTech), Reports



### ◎ Headlines

- [Scientific Report Paris EM IHP  
04 October, 2010](#)
- [Scientific Report PARIS EM \(AgroParisTech\)  
04 October, 2010](#)
- [COST Benchmark Workshop Zurich  
23 September, 2010](#)
- [Advances in homogenisation methods of climate series: an integrated approach \(HOME\)  
13 August, 2010](#)
- [Mallorca's meeting presentations were added.  
22 March, 2010](#)
- [Benchmark dataset results released.  
Working Groups 2,3,4 meeting in Palma de Mallorca, Spain \(January, 25-27, 2010\)  
10 February, 2010](#)
- [Expert meeting in Oslo 25-26 November 2009](#)
- [23 December, 2009](#)
- [Patras University hosted the R-Summer School in Patras, Greece, 8-11 September 2009](#)
- [25 September, 2009](#)

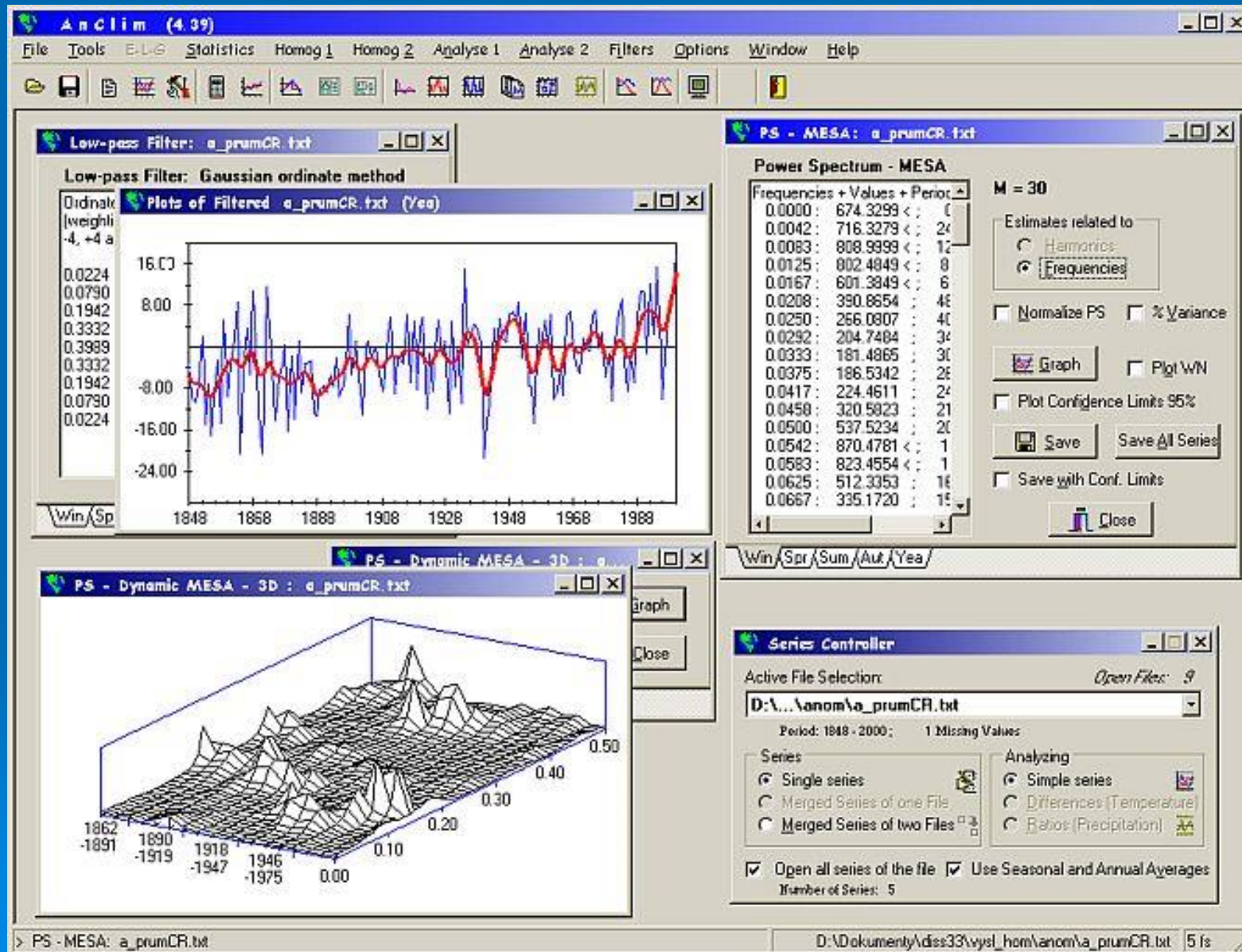
### ◎ Scientific Reports from STSM and Summer Schools. (All meetings)

- [Scientific Report Paris EM IHP](#)
- [Study applicability of Mixed Linear Models to segmentation of climate and GPS series](#)
- [WG Benchmark Zurich](#)
- [Iceland Meeting](#)
- [ECC 2010](#)
- [STSM in Brno](#)

### ◎ The last references added

- [A novel method for the homogenization of daily temperature series and its relevance for climate change analysis.](#)
- [Homogeneity analysis of Turkish meteorological data set.](#)
- [A complete daily precipitation database for northeast Spain: reconstruction, quality control and homogeneity.](#)
- [Temperature and surface lapse rate change: a study of the UK's longest upland instrumental record.](#)

# AnClim software



# ProclimDB

## Processing window (profile: slovensko)

### Menu : Reference

Calculates reference series for each station given.

### Item : From Correlations

Selects given Number of stations with average corr.

### Source files:

right click for context menu

Data file	<code>:et_hurv_mes_new_reconstr2</code>
(Data Info file)	<code>data\data_info.dbf</code>

NAME	ID	B	E	L	IDXXXX	III	REGION	LATITUDE	LONGITUDE	ALTITUDE	BEGIN	END	LENGTH	MISS_CNT
<input checked="" type="checkbox"/> Bystrice pod Hostýnem	B1BYSH01_SCE_07:00	B1BYSH01	SCE	17.67	49.40	315	1.1.1961	31.1.2006	46				0.00	0.00
<input checked="" type="checkbox"/> Bystrice pod Hostýnem	B1BYSH01_SNO_07:00	B1BYSH01	SNO	17.67	49.40	315	1.1.1961	31.1.2006	46				0.00	0.00
Bystrice pod Hostýnem	B1BYSH01_SRA_07:00	B1BYSH01	SRA	17.67	49.40	315	1.1.1872	31.1.2006	135				0.00	0.00
<input checked="" type="checkbox"/> Bystrice pod Hostýnem	B1BYSH01_SVH_07:00	B1BYSH01	SVH	17.67	49.40	315	1.1.1961	31.1.2006	46				0.00	0.00
<input checked="" type="checkbox"/> Holešov	B1HOLE01_SCE_07:00	B1HOLE01	SCE	17.57	49.32	224	1.1.1961	31.1.2006	46				0.00	0.00
<input checked="" type="checkbox"/> Holešov	B1HOLE01_SNO_07:00	B1HOLE01	SNO	17.57	49.32	224	1.1.1961	31.1.2006	46				0.00	0.00
<input checked="" type="checkbox"/> Holešov	B1HOLE01_SRA_07:00	B1HOLE01	SRA	17.57	49.32	224	1.1.1953	31.1.2006	54				0.00	0.00
<input checked="" type="checkbox"/> Holešov	B1HOLE01_SVH_07:00	B1HOLE01	SVH	17.57	49.32	224	1.1.1979	31.1.2006	28				0.00	0.00
<input checked="" type="checkbox"/> Napajedla	B1NAPA01_SCE_07:00	B1NAPA01	SCE	17.52	49.18	185	1.1.1961	31.1.2006	46				0.00	0.00
<input checked="" type="checkbox"/> Napajedla	B1NAPA01_SNO_07:00	B1NAPA01	SNO	17.52	49.18	185	1.1.1961	31.1.2006	46				0.00	0.00
Napajedla	B1NAPA01_SRA_07:00	B1NAPA01	SRA	17.52	49.18	185	1.1.1889	31.1.2006	118					
<input checked="" type="checkbox"/> Napajedla	B1NAPA01_SVH_07:00	B1NAPA01	SVH	17.52	49.18	185	1.1.1977	31.1.2006	30					
Brno	B2BKVE01_SCE_07:00	B2BKVE01	SCE	16.57	49.19	223	2.1.1922	31.1.1970	49					
Brno	B2BKVE01_SNO_07:00	B2BKVE01	SNO	16.57	49.19	223	3.1.1931	31.1.1970	40					
Brno	B2BKVE01_SRA_07:00	B2BKVE01	SRA	16.57	49.19	223	1.1.1922	31.1.1970	49					
<input checked="" type="checkbox"/> Brno	B2BPI01_SCE_07:00	B2BPI01	SCE	16.57	49.20	203	1.1.1919	31.1.1979	61					
<input checked="" type="checkbox"/> Brno	B2BPI01_SNO_07:00	B2BPI01	SNO	16.57	49.20	203	4.1.1931	31.1.1979	49					
<input checked="" type="checkbox"/> Brno	B2BPI01_SRA_07:00	B2BPI01	SRA	16.57	49.20	203	1.1.1916	31.1.1979	64					
<input checked="" type="checkbox"/> Brno	B2BPI01_SVH_07:00	B2BPI01	SVH	16.57	49.20	203	1.1.1961	31.1.1979	19					
<input checked="" type="checkbox"/> Brno	B2BTUR01_SCE_07:00	B2BTUR01	SCE	16.70	49.16	241	1.1.1961	31.1.2006	46					
<input checked="" type="checkbox"/> Brno	B2BTUR01_SNO_07:00	B2BTUR01	SNO	16.70	49.16	241	1.1.1961	31.1.2006	46					
<input checked="" type="checkbox"/> Brno	B2BTUR01_SRA_07:00	B2BTUR01	SRA	16.70	49.16	241	1.1.1961	31.1.2006	46					
<input checked="" type="checkbox"/> Brno	B2BTUR01_SVH_07:00	B2BTUR01	SVH	16.70	49.16	241	1.1.1969	31.1.2006	38					
Jihlava	B2JIHL01_SCE_07:00	B2JIHL01	SCE	15.54	49.39	560	1.1.1961	31.1.1969	9					
<input checked="" type="checkbox"/> Jihlava	B2JIHL01_SNO_07:00	B2JIHL01	SNO	15.54	49.39	560	1.1.1961	31.1.1969	9					

Correlations column

K13

Run

Last Output

Quit



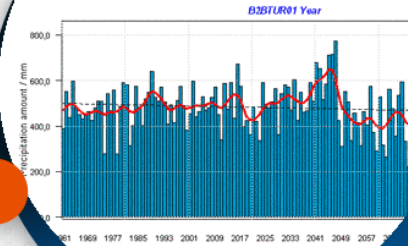
Tools for processing and homogenization  
of large climatological datasets



LoadData<sup>+</sup>

AnClim

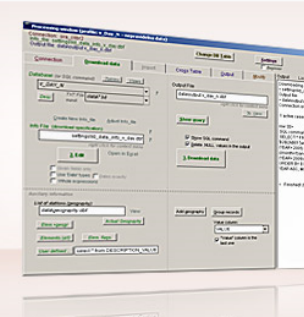
ProClimDB



## Complete Solution

for Processing Climatological Data

ClimaHom.eu



● ● ●

### Complete solution

During the last decade, a software package consisting of AnClim, ProClimDB and LoadData for processing climatological data has been created. This software offers a complex solution for processing climatological time series, starting from loading the data from a central database (e.g. Oracle, software LoadData), through data duality control and homogenization to time series analysis, extreme value evaluations and

### Support and services

During the processing you have a full control about the process (all the side calculations are saved into files). The aim of the software is also to link to other tools and make it possible to compare various approaches. Besides the software itself our team can offer you technical support of the whole software package, prepare individual solutions apt for your data or even to perform processing of your data for you

### Twitter

# European Climate Assessment & Dataset (ECA&D )

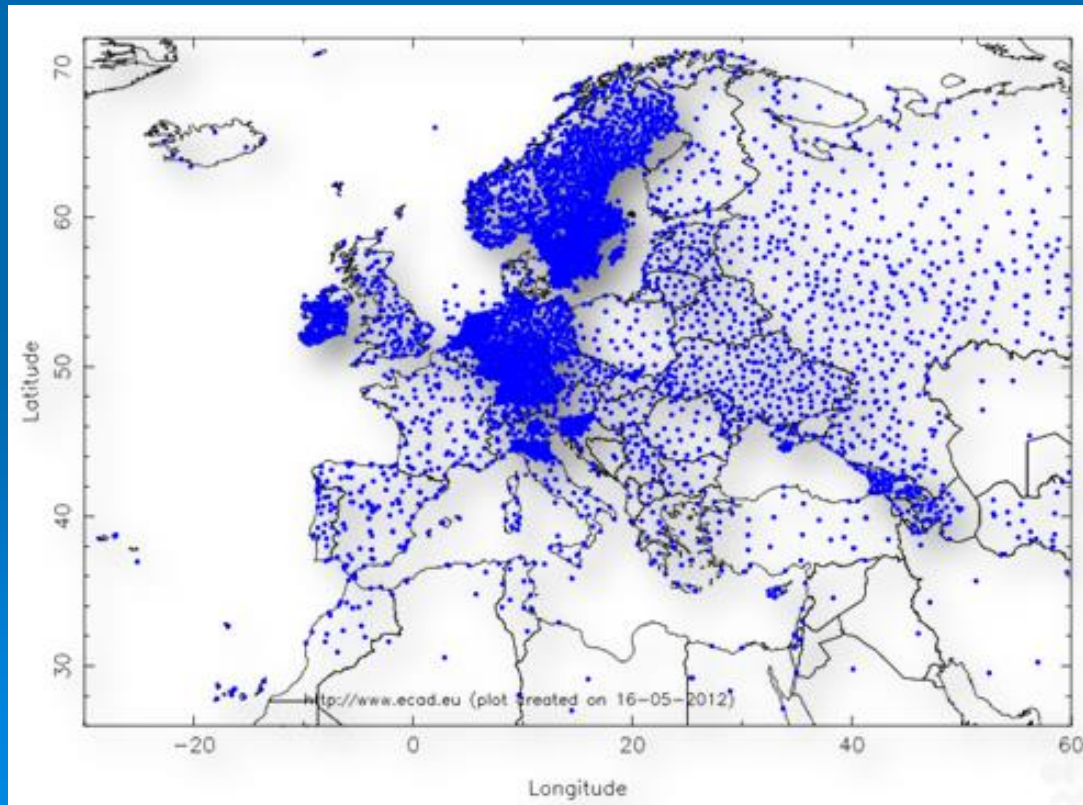
- ECA&D project initiated by European Climate Support Network of EUMETNET in 2002
- <http://eca.knmi.nl>
- Coordinated by the Royal Netherlands Meteorological Institute (KNMI)
- ECA&D participants: 58 institutions in 62 countries



- Designated as Regional Climate Centre on climate data for WMO Region VI (Europe)
- ECA&D services:
  - data gathering
  - archiving
  - quality control
  - analysis
  - dissemination of web-based products

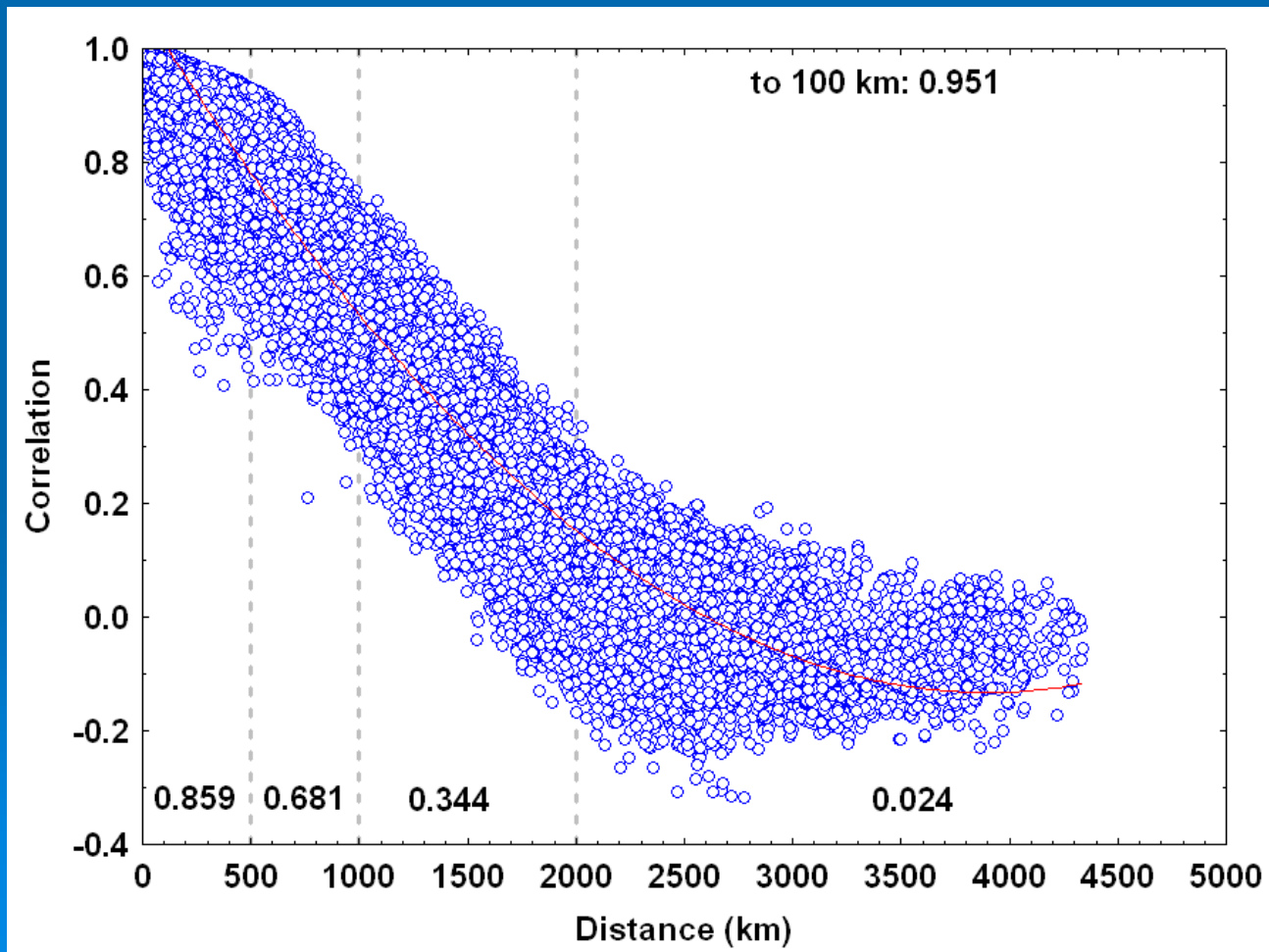
# European Climate Assessment & Dataset (ECA&D )

- Daily dataset of 31 058 quality controlled series of 12 climate variables at 6596 meteorological stations in 62 countries (~ half publicly available)

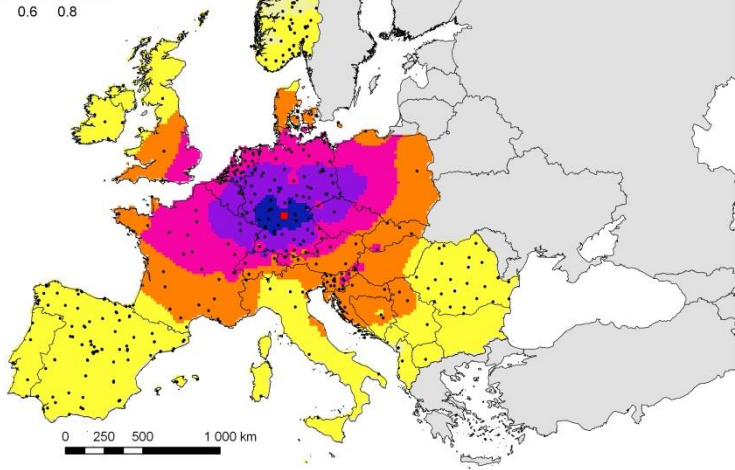
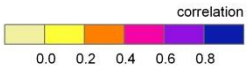


# Spatial correlation

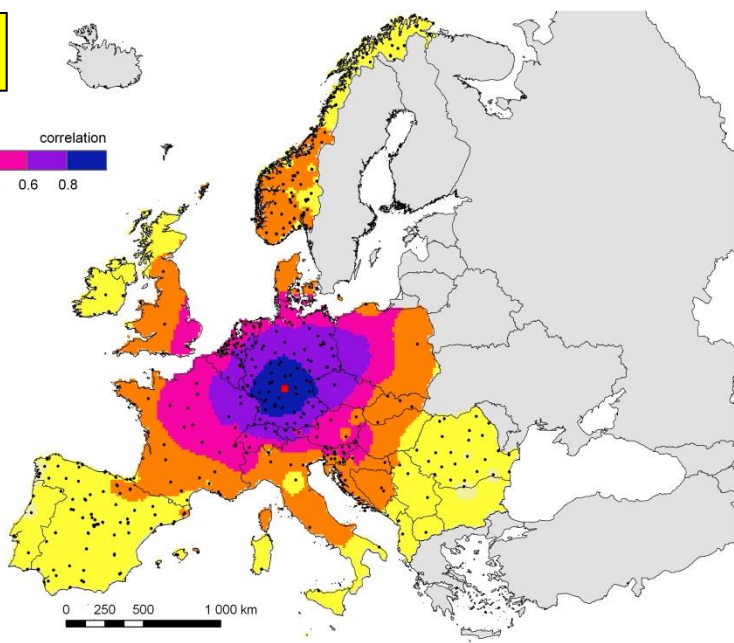
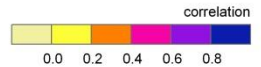
- Correlation coefficient decrease with distance
- Spatial correlation is low for distance >100 km



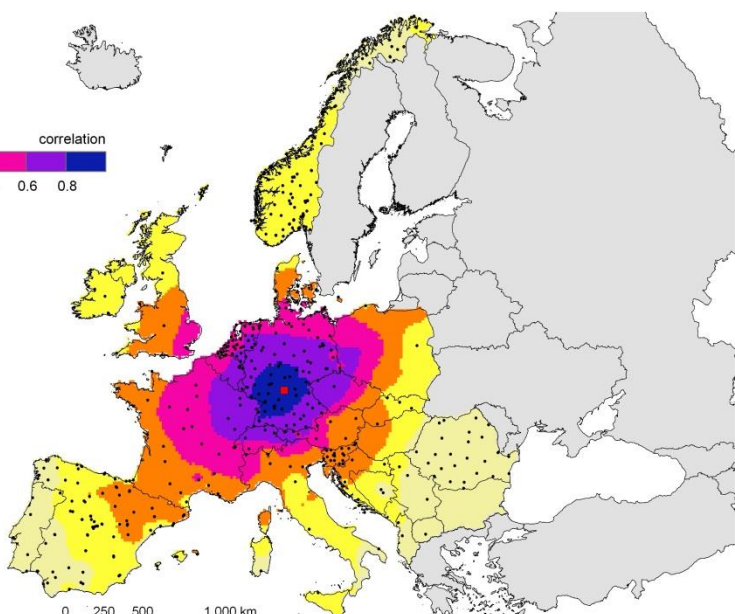
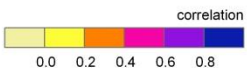
**January**



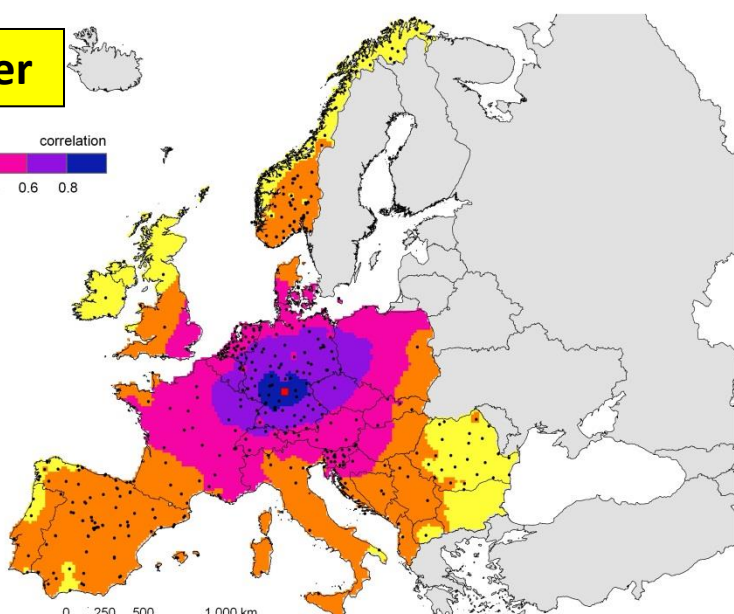
**April**



**July**



**October**



# Outliers

- Example 1: 190.6°C
- Flag: 0 = valid

1 = suspect

1679,	4985,19910803,	240,	0
1679,	4985,19910804,	240,	0
1679,	4985,19910805,	258,	0
1679,	4985,19910806,	264,	0
1679,	4985,19910807,	279,	0
1679,	4985,19910808,	283,	0
1679,	4985,19910809,	275,	0
1679,	4985,19910810,	1906,	1
1679,	4985,19910811,	292,	0
1679,	4985,19910812,	287,	0
1679,	4985,19910813,	277,	0
1679,	4985,19910814,	290,	0
1679,	4985,19910815,	266,	0
1679,	4985,19910816,	241,	0

Example 2: many zeros

337,	1187,19650522,	205,	0
337,	1187,19650523,	200,	0
337,	1187,19650524,	0,	1
337,	1187,19650525,	216,	0
337,	1187,19650526,	204,	0
337,	1187,19650527,	0,	1
337,	1187,19650528,	220,	0
337,	1187,19650529,	0,	1
337,	1187,19650530,	195,	0
337,	1187,19650531,	193,	0
337,	1187,19650601,	222,	0
337,	1187,19650602,	210,	0
337,	1187,19650603,	200,	0
337,	1187,19650604,	236,	0
337,	1187,19650605,	223,	0
337,	1187,19650606,	182,	0
337,	1187,19650607,	170,	0
337,	1187,19650608,	0,	1

12,	34,20100516,	107,	0
12,	34,20100517,	144,	0
12,	34,20100518,	150,	0
12,	34,20100519,	0,	0
12,	34,20100520,	137,	0
12,	34,20100521,	162,	0
12,	34,20100522,	165,	0

13

**a**

$$RA = 9,0873 + 0,0213 \cdot x$$

$$HO\text{-}PRODIGE = 9,4797 + 0,0161 \cdot x$$

$$HO\text{-}UBRIS = 9,6031 + 0,0149 \cdot x$$

T [°C]

12

11

10

9

8

7

1921 1928 1935 1942 1949 1956 1963 1970 1977 1984 1991 1998 2005

**Děkuji za pozornost**

RA  
HO-PRODIGE  
HO-UBRIS